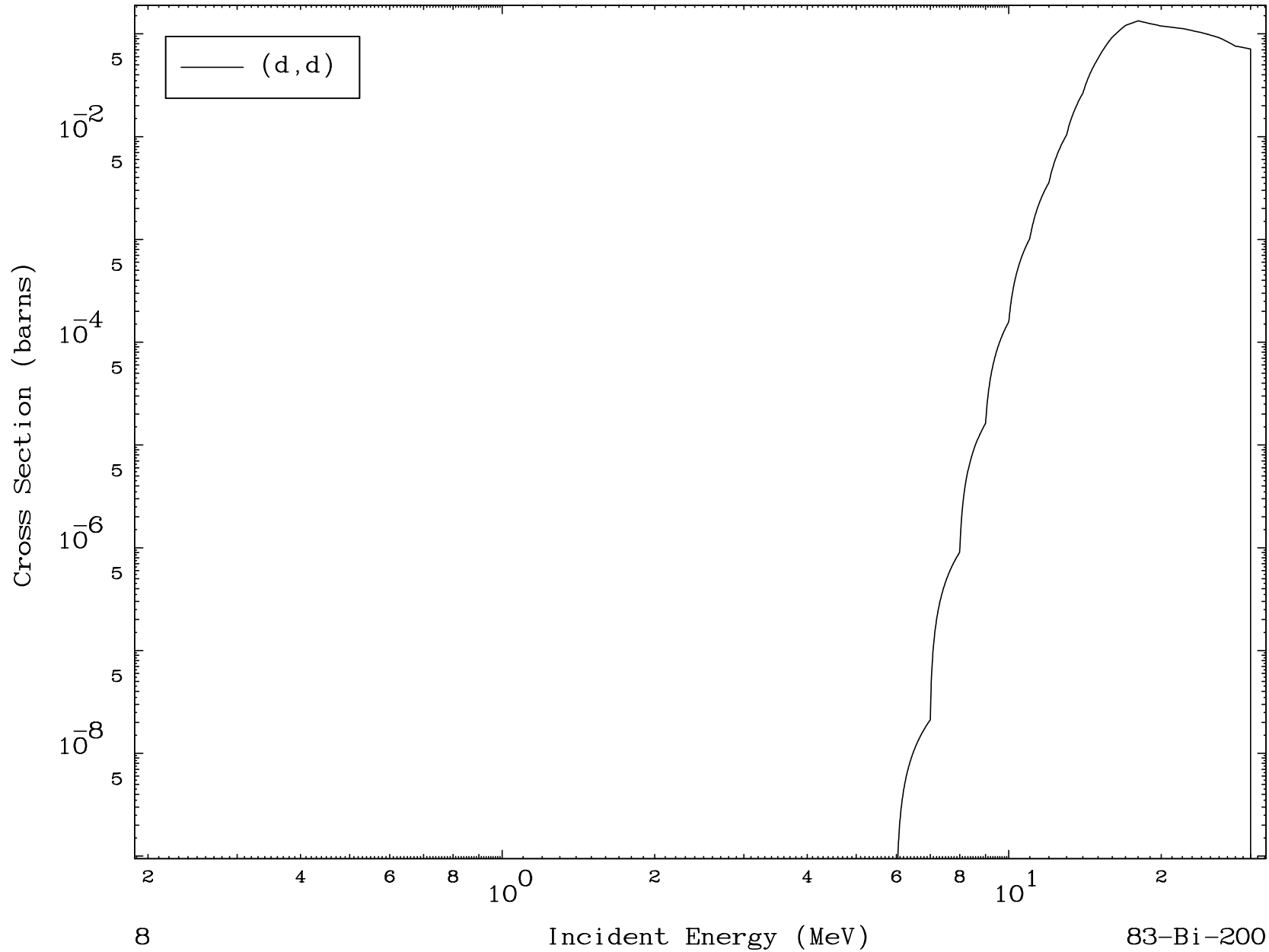


MAT 8298

(d,d) Levels  
0 Kelvin Cross Sections

83-Bi-200

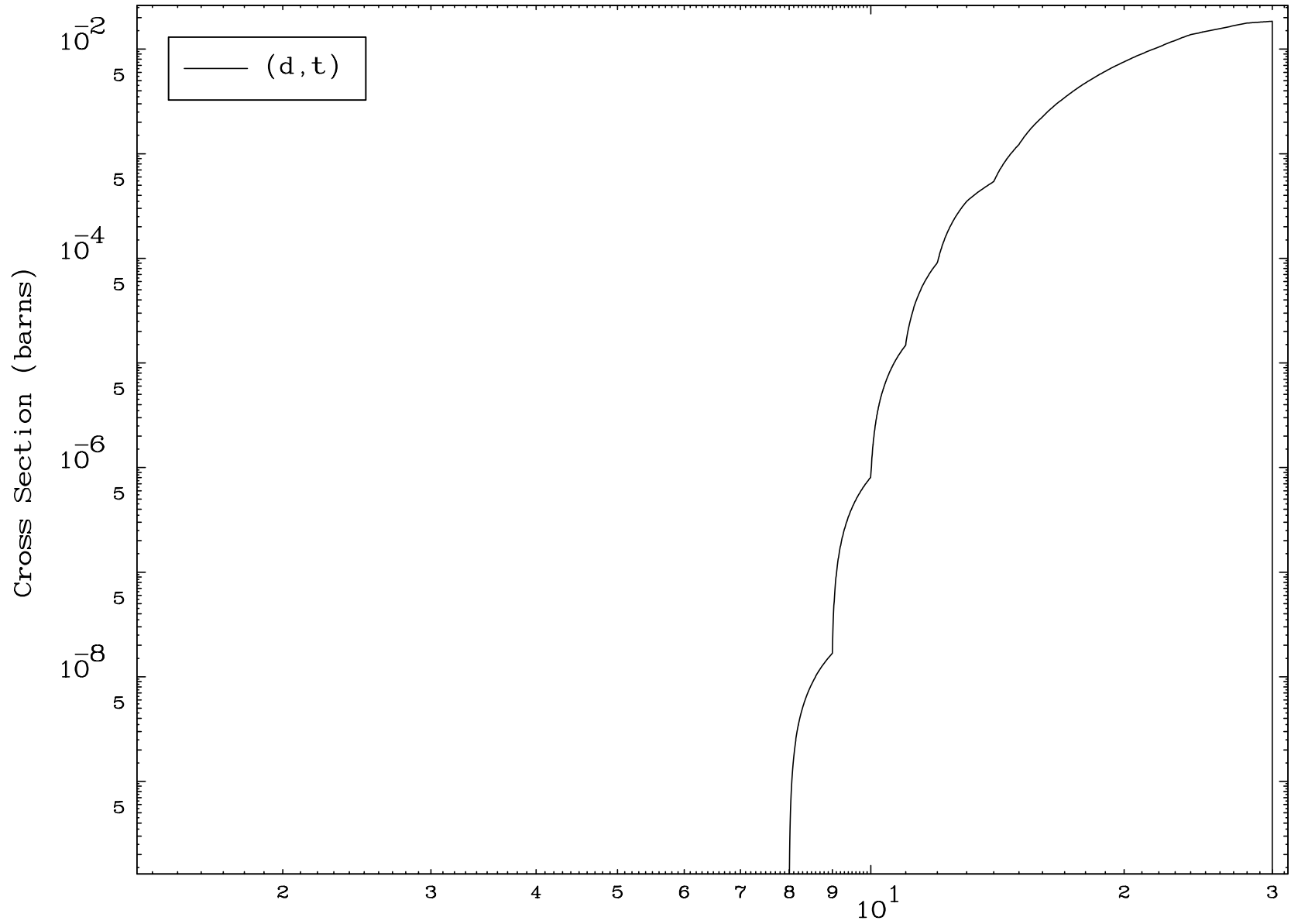




MAT 8298

(d,t) Levels  
0 Kelvin Cross Sections

83-Bi-200



9

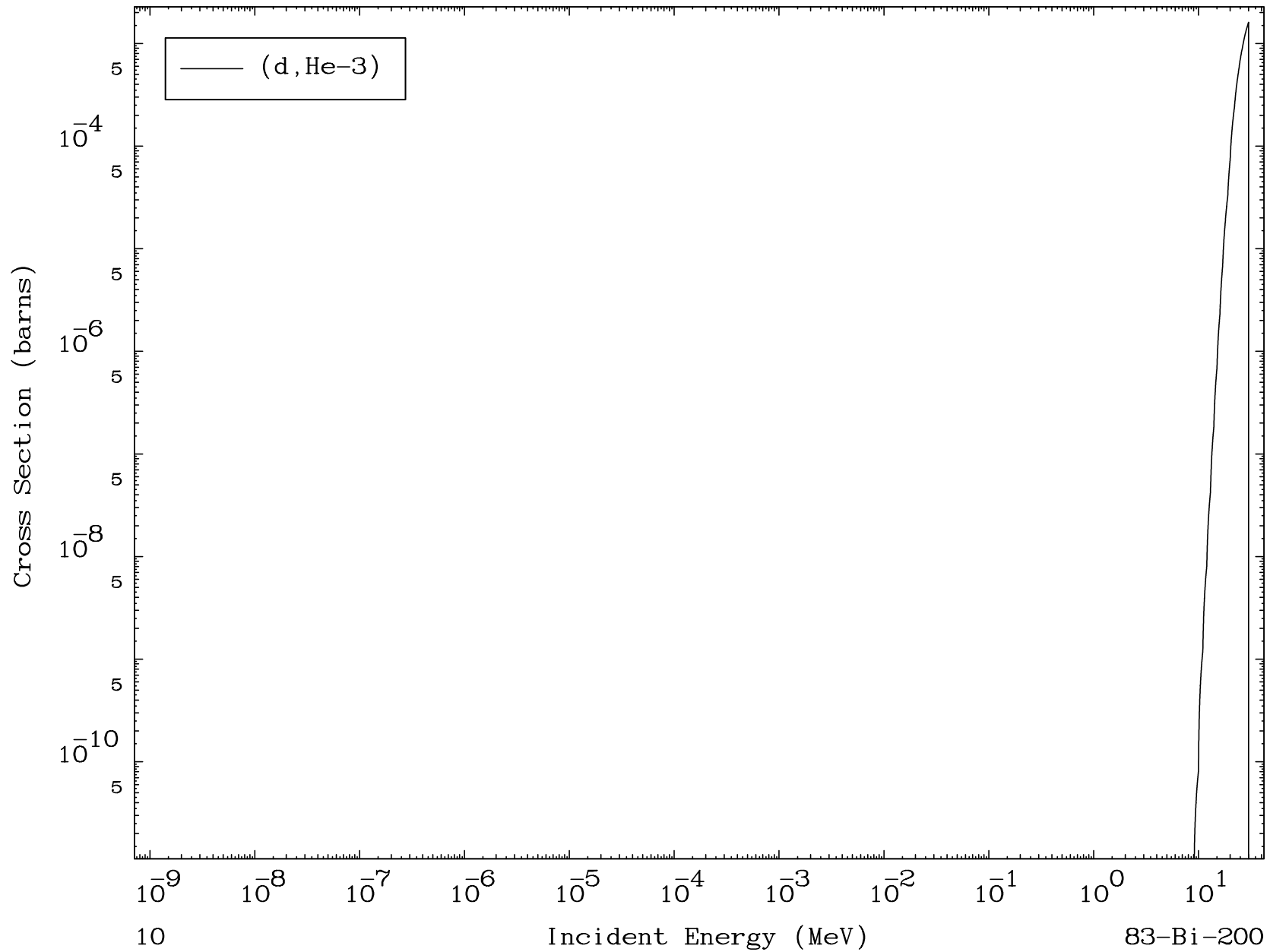
Incident Energy (MeV)

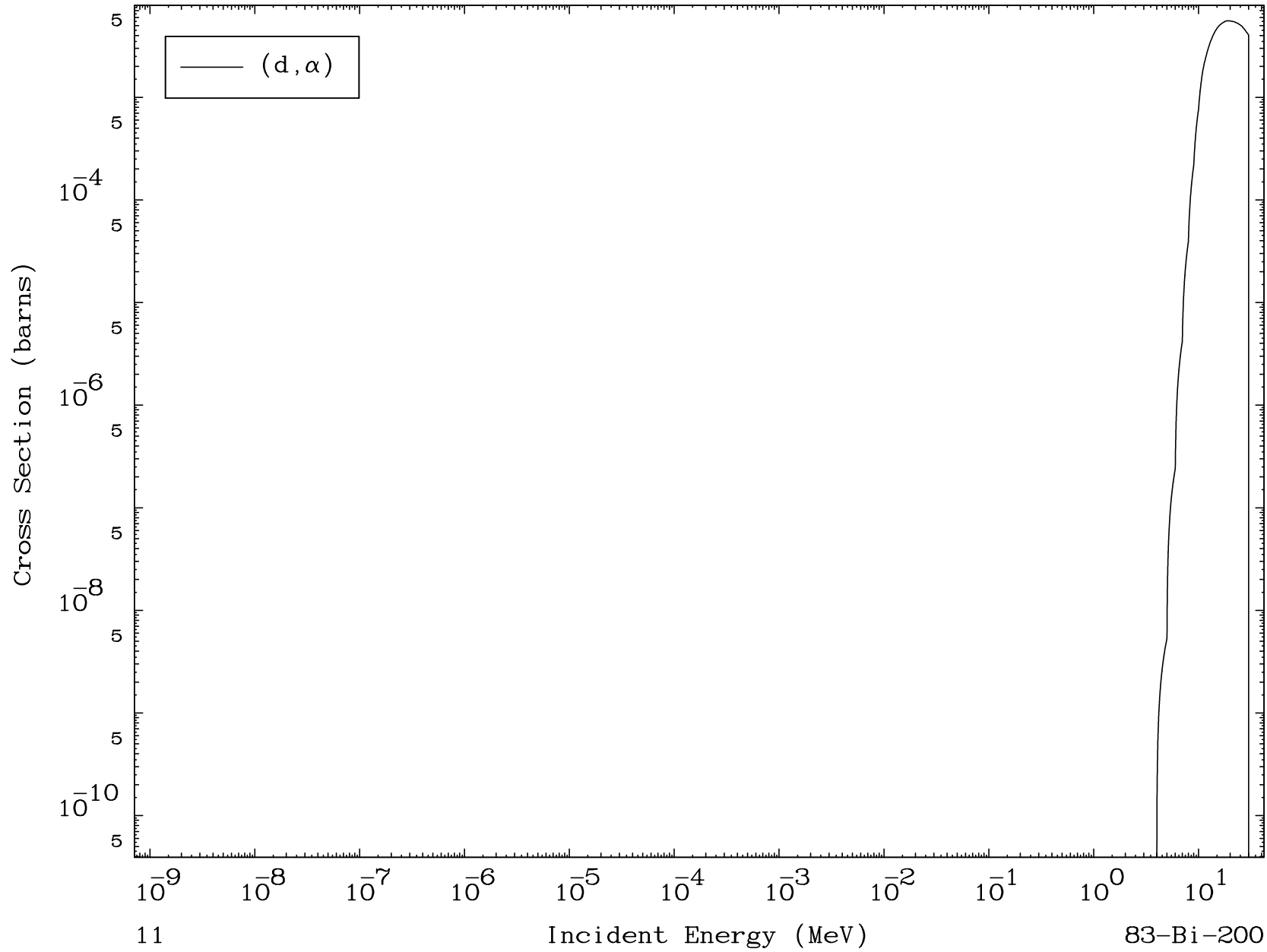
83-Bi-200

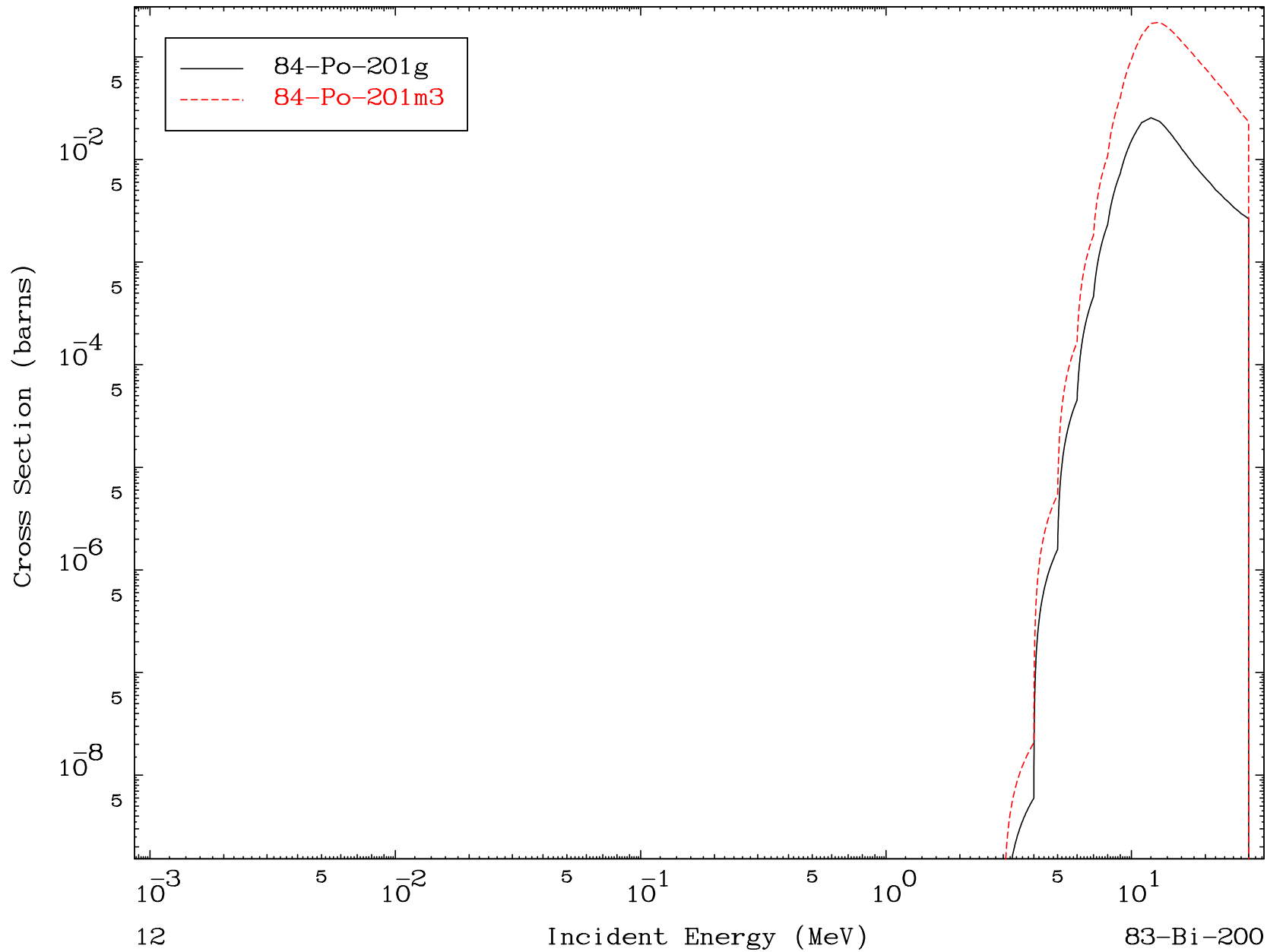
MAT 8298

(d,He3) Levels  
0 Kelvin Cross Sections

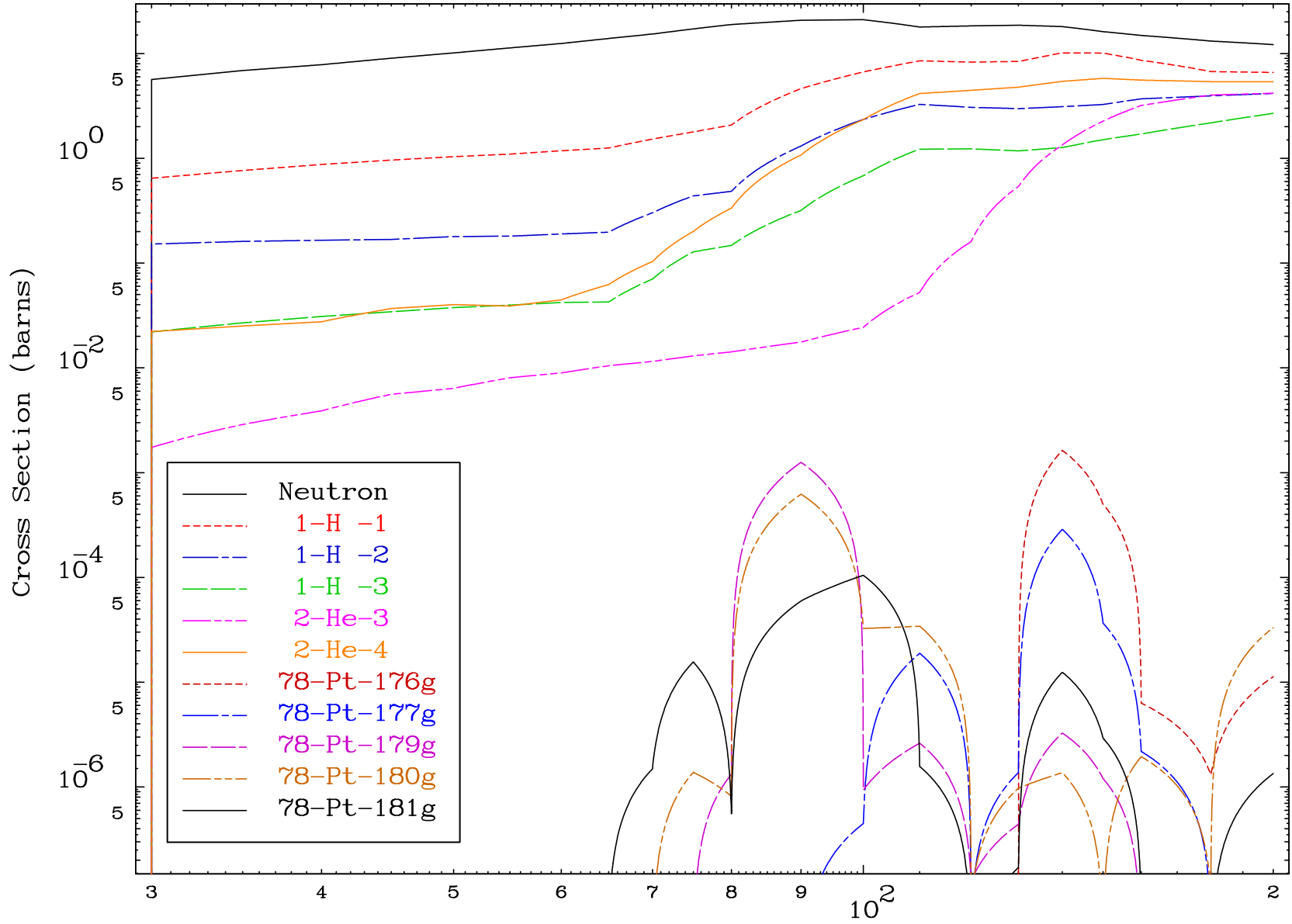
83-Bi-200



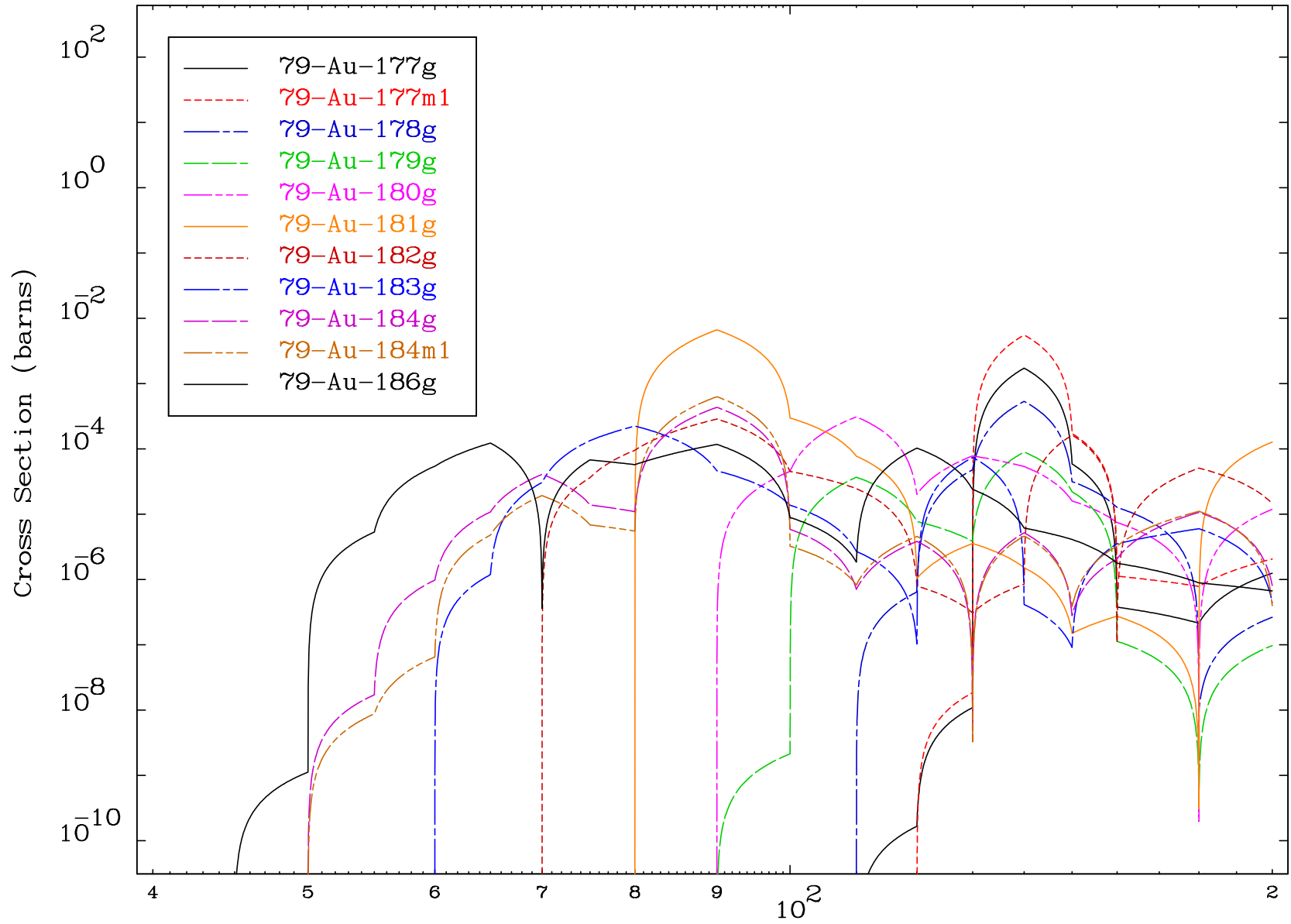




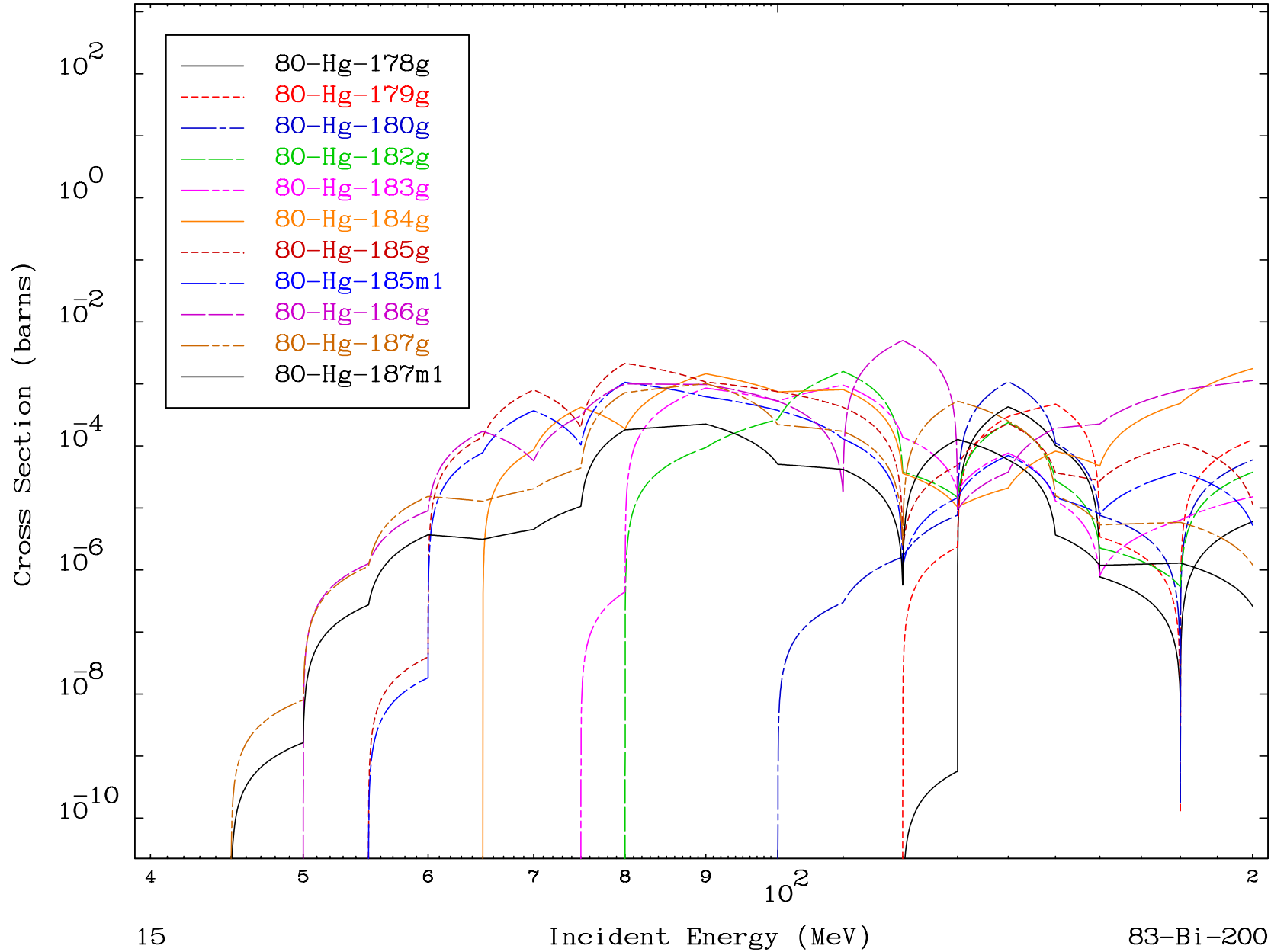
Radionuclide Production Cross Section



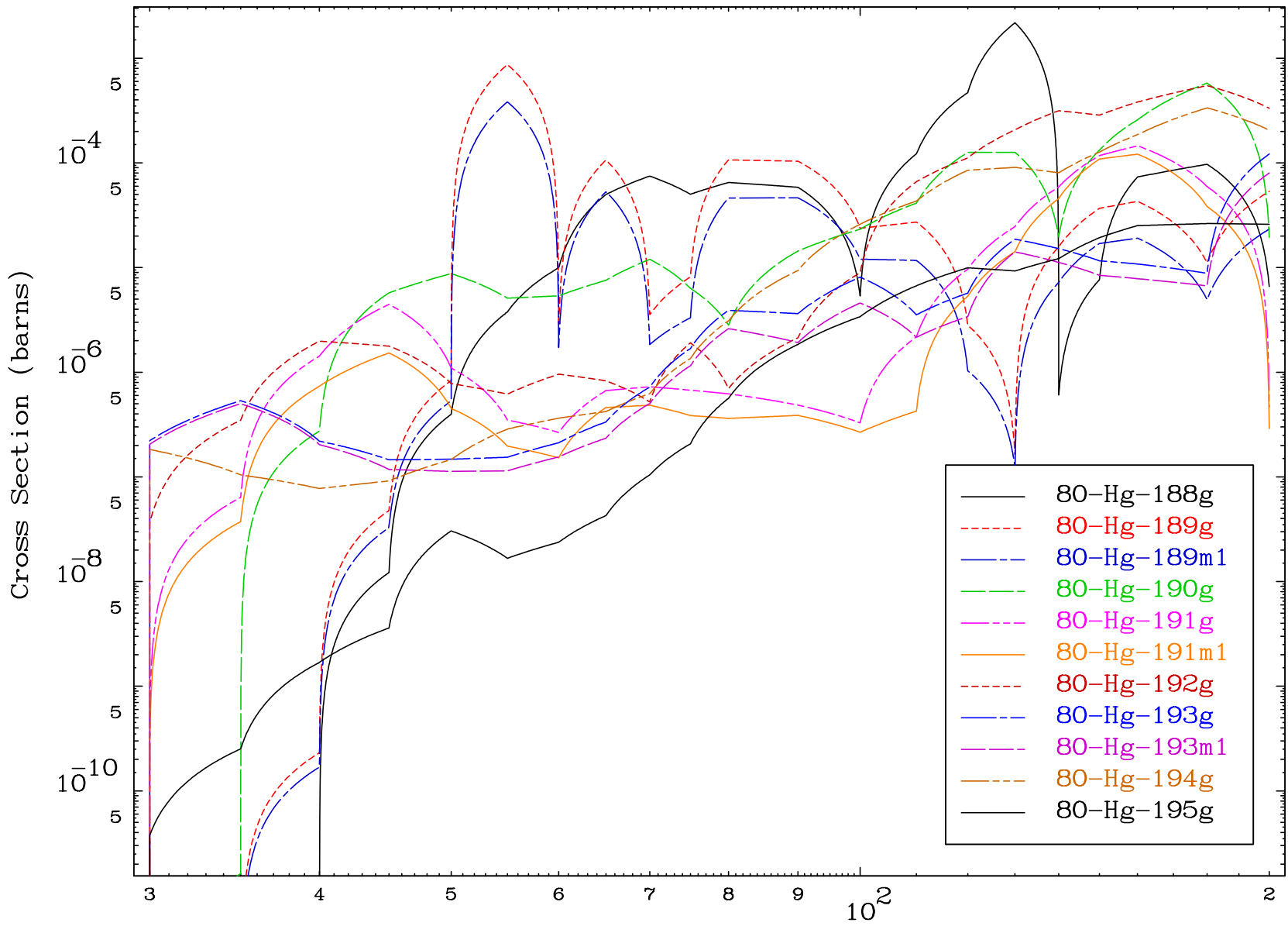
Radionuclide Production Cross Section



Radionuclide Production Cross Section

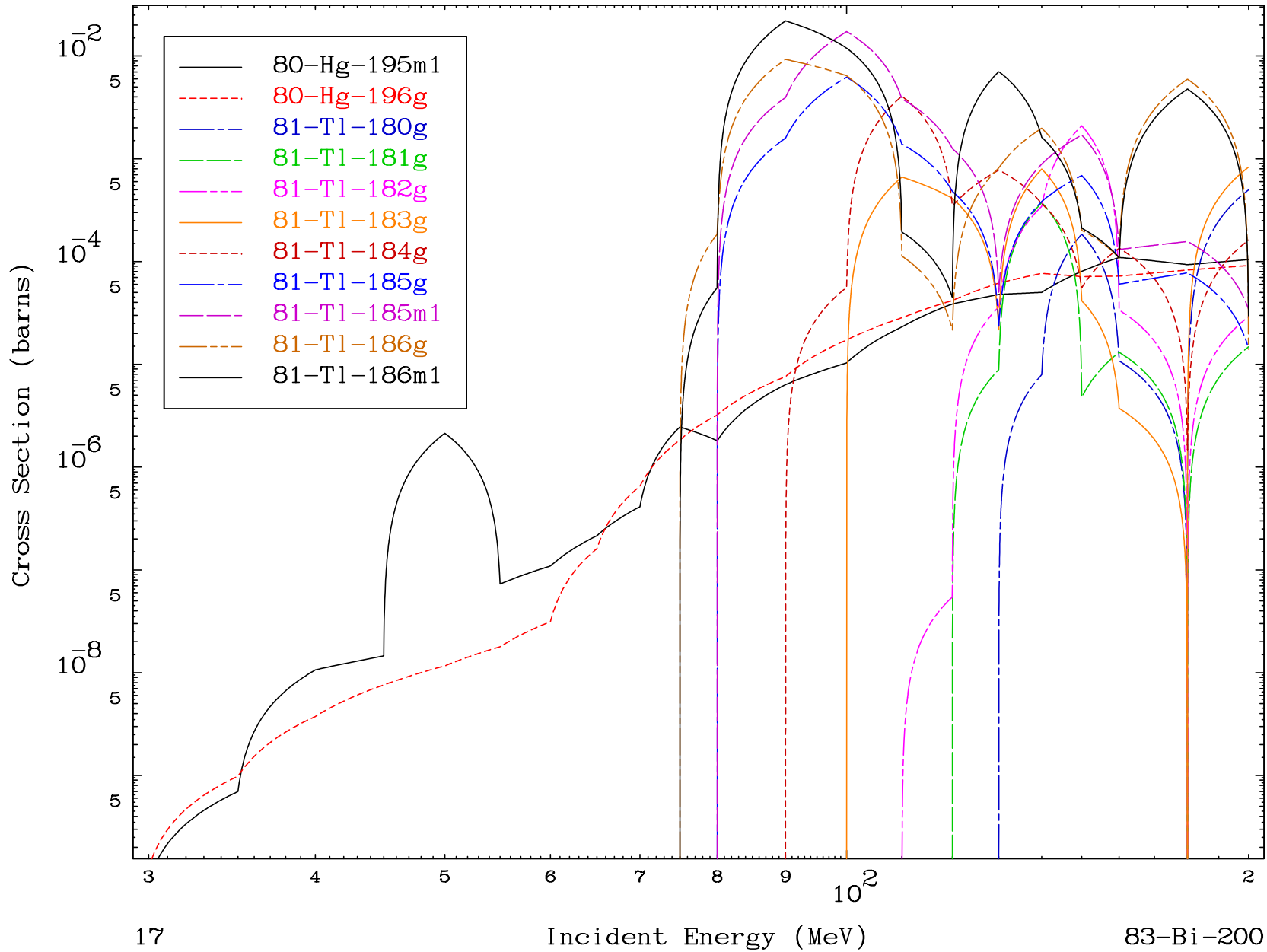


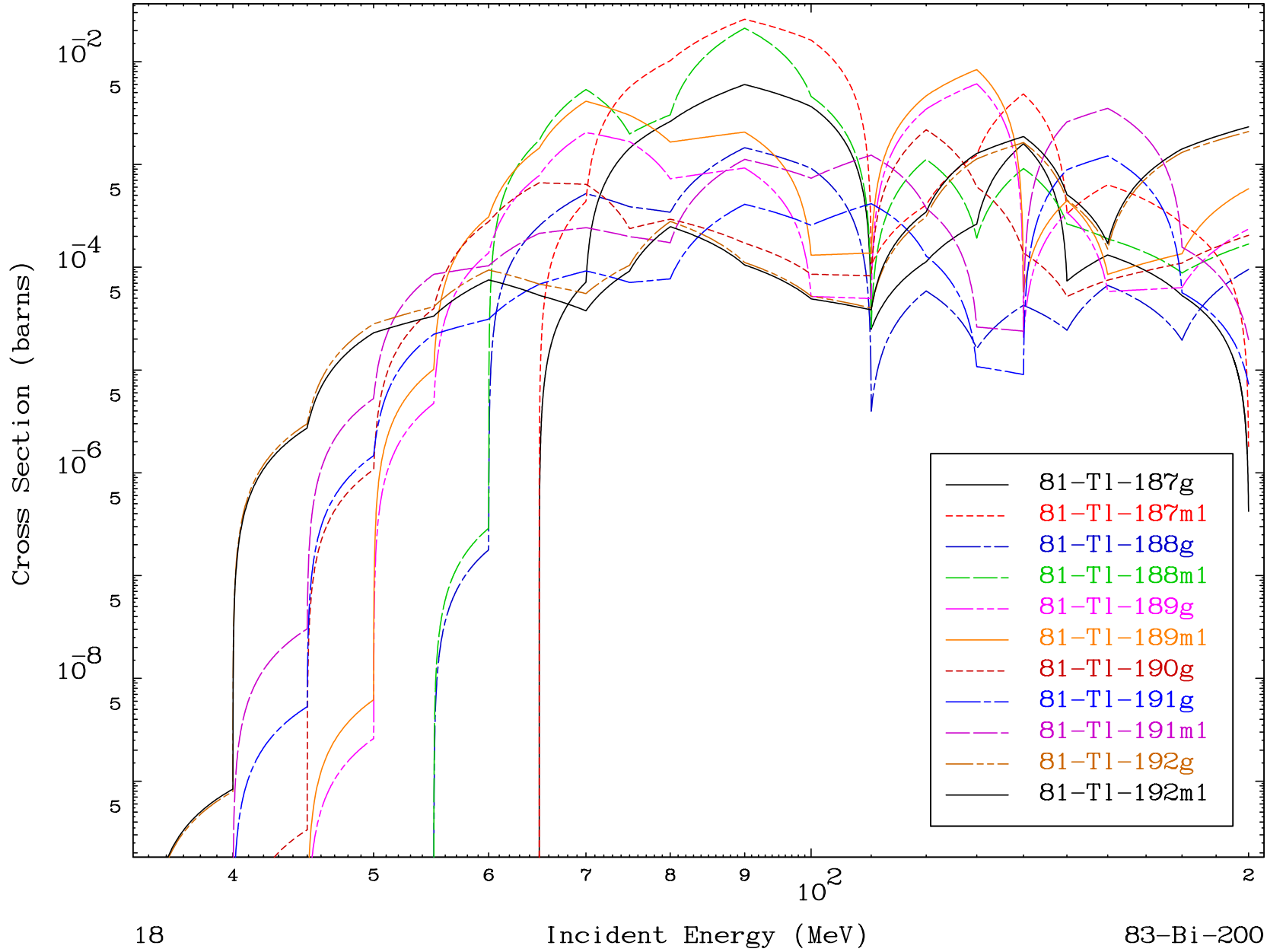
Radionuclide Production Cross Section

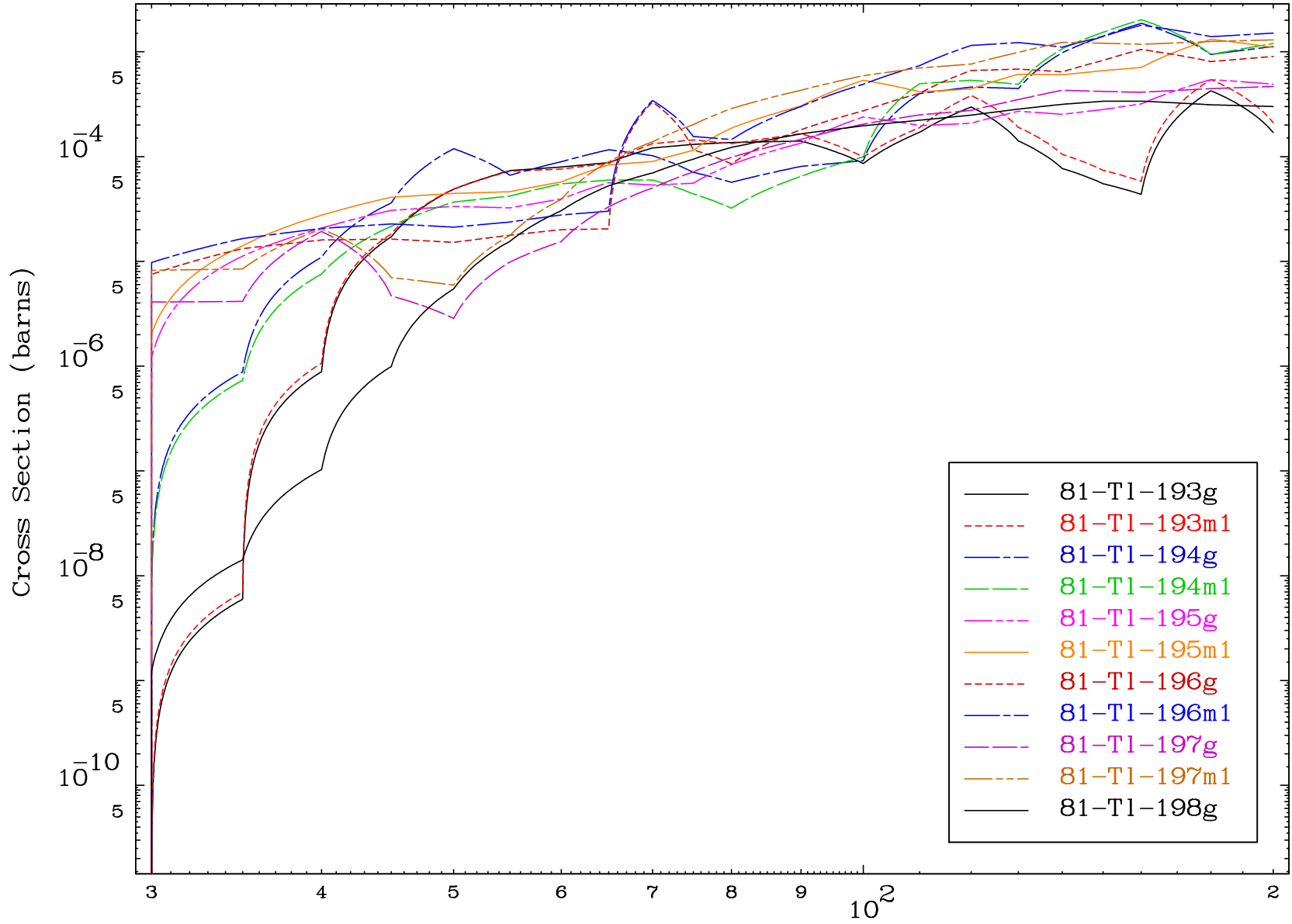




Radionuclide Production Cross Section





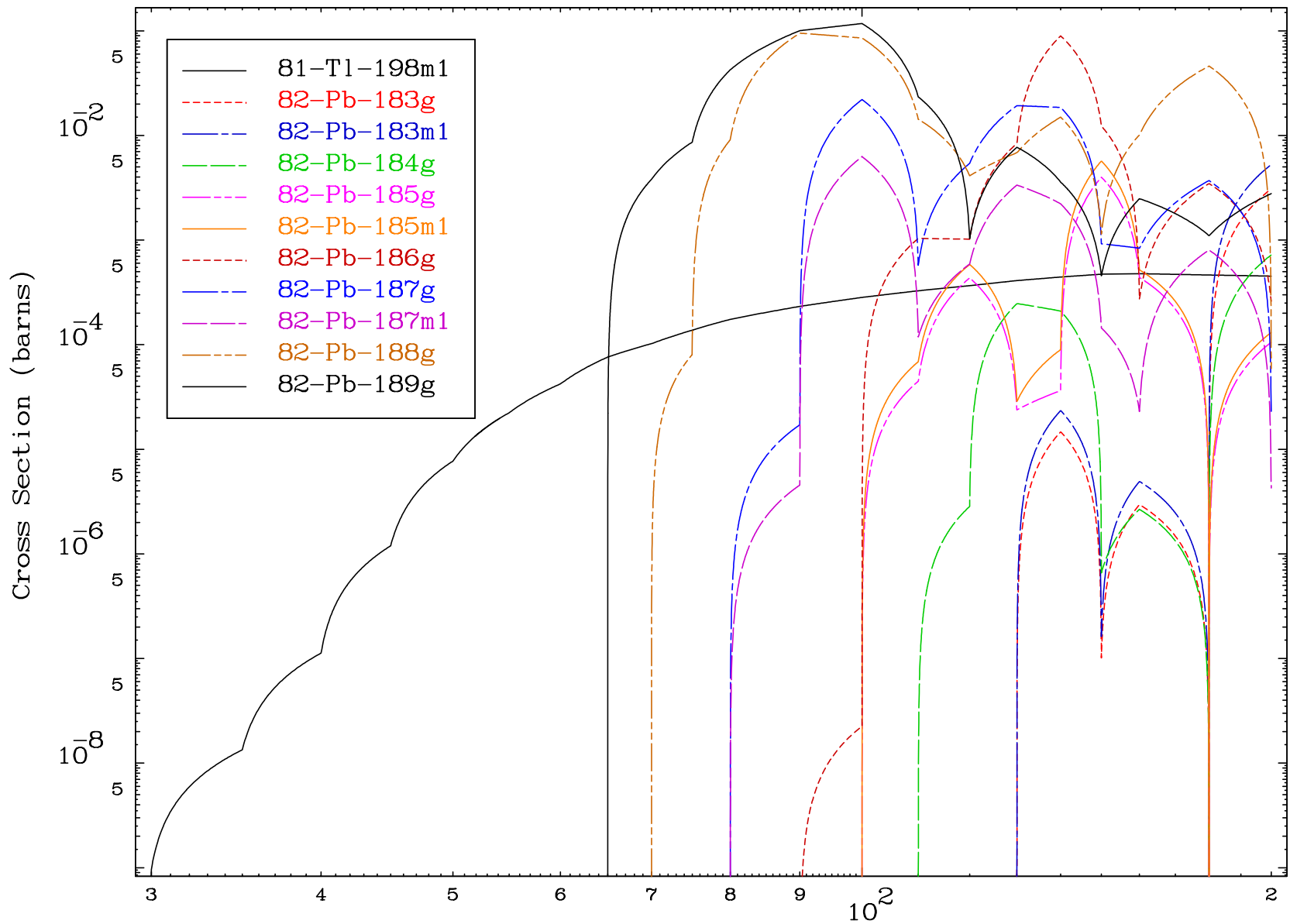


MAT 8298

(d,remainder)

83-Bi-200

### Radionuclide Production Cross Section

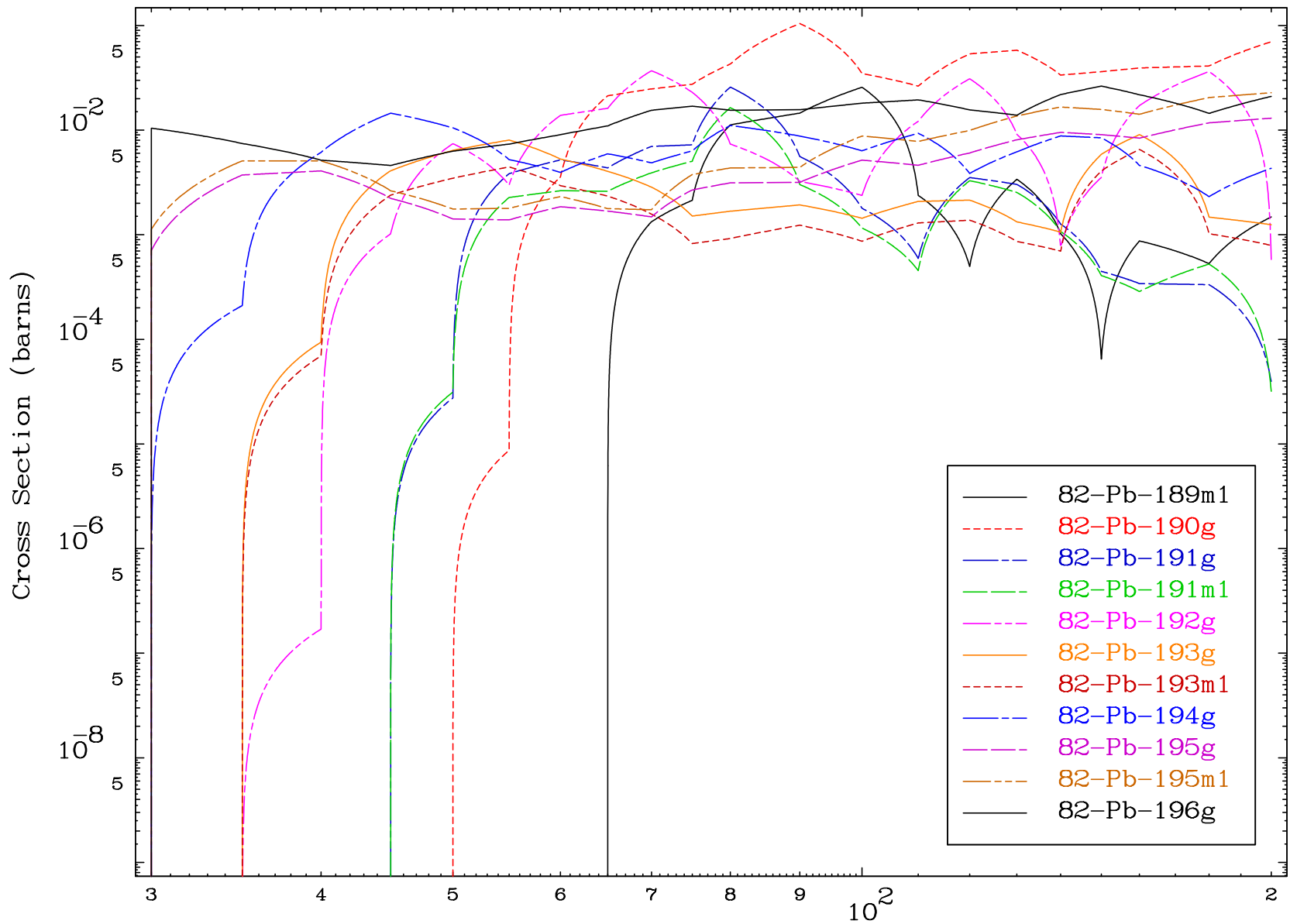


20

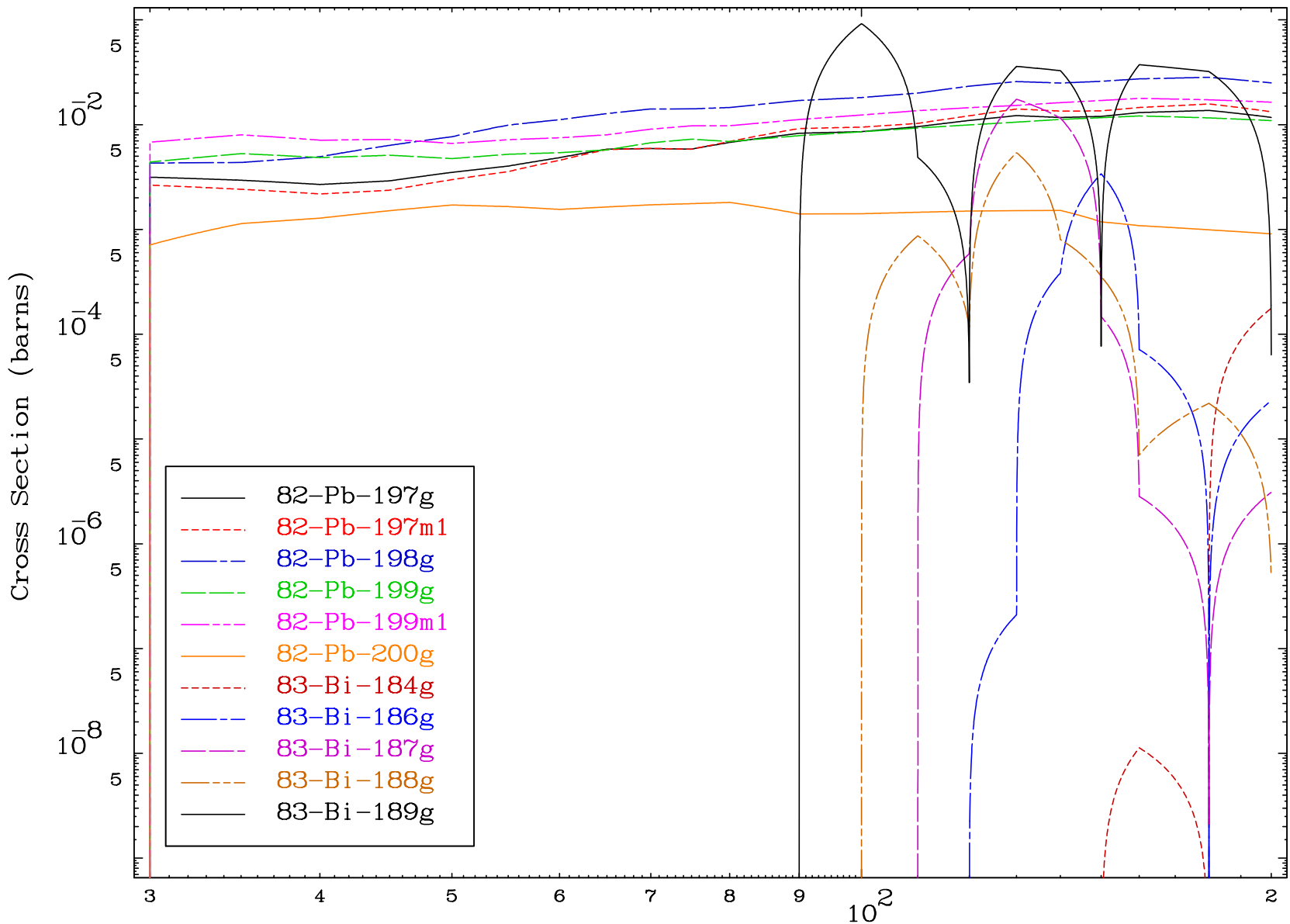
Incident Energy (MeV)

83-Bi-200

Radionuclide Production Cross Section



Radionuclide Production Cross Section

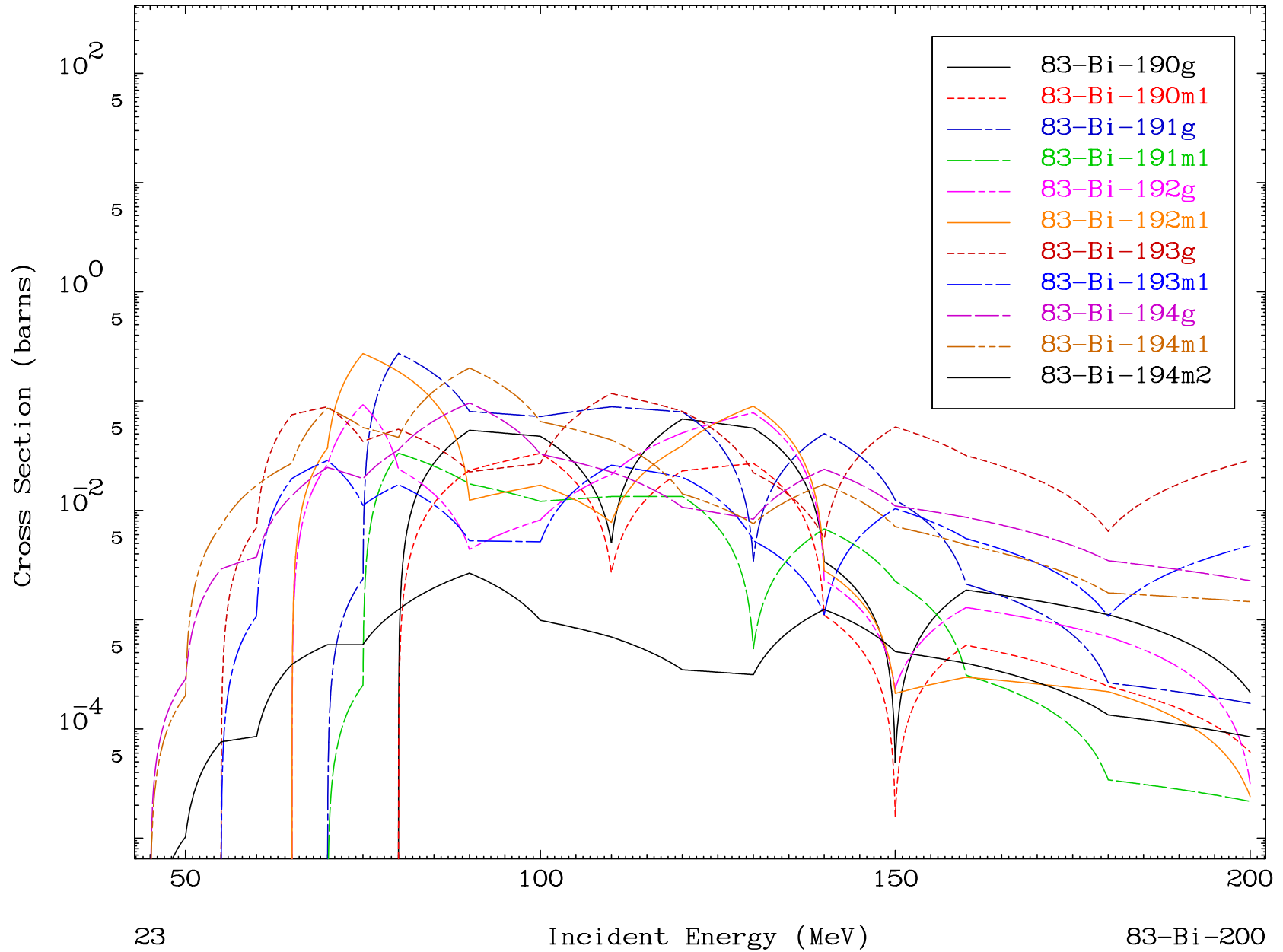


MAT 8298

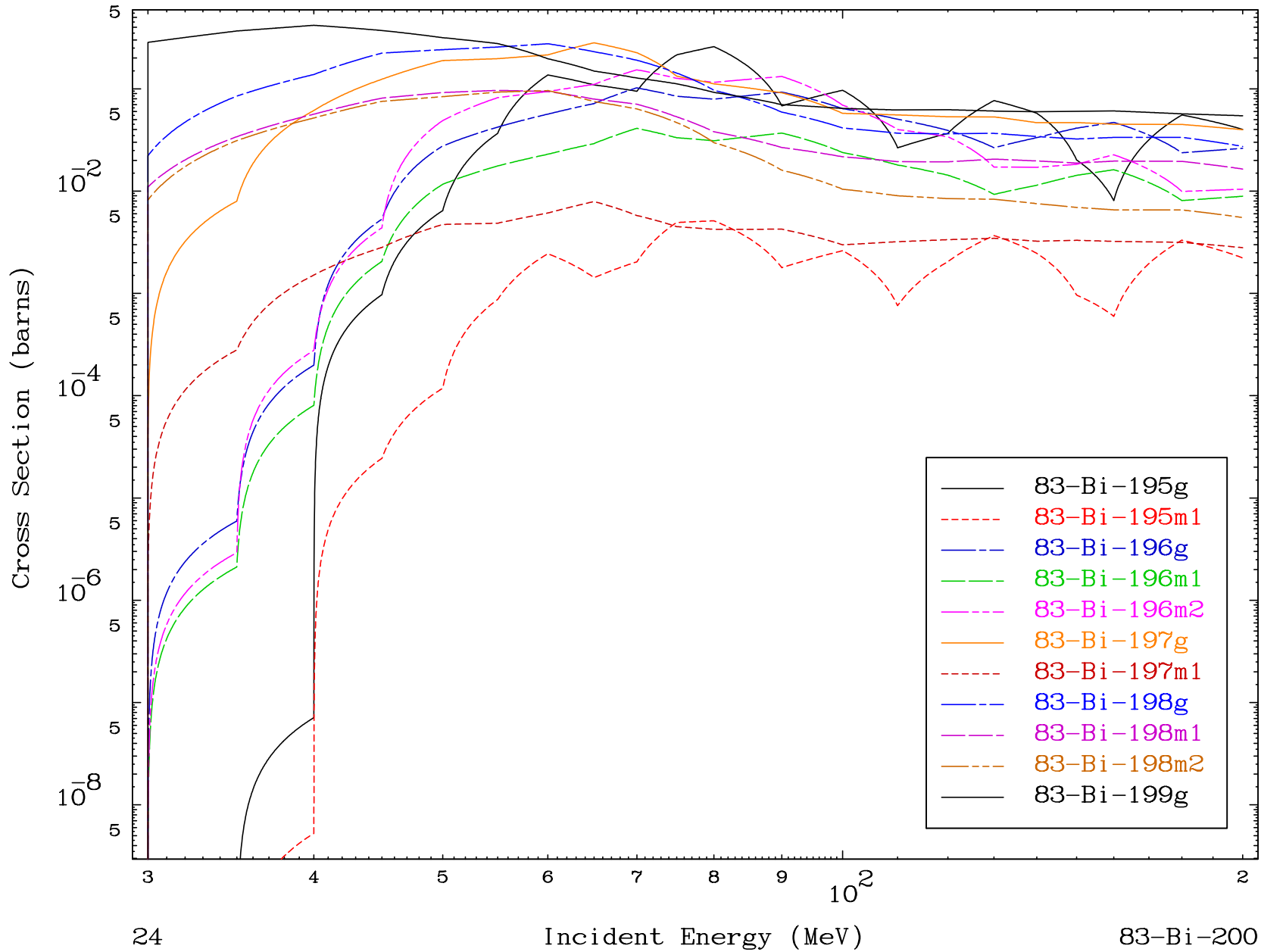
(d,remainder)

83-Bi-200

### Radionuclide Production Cross Section

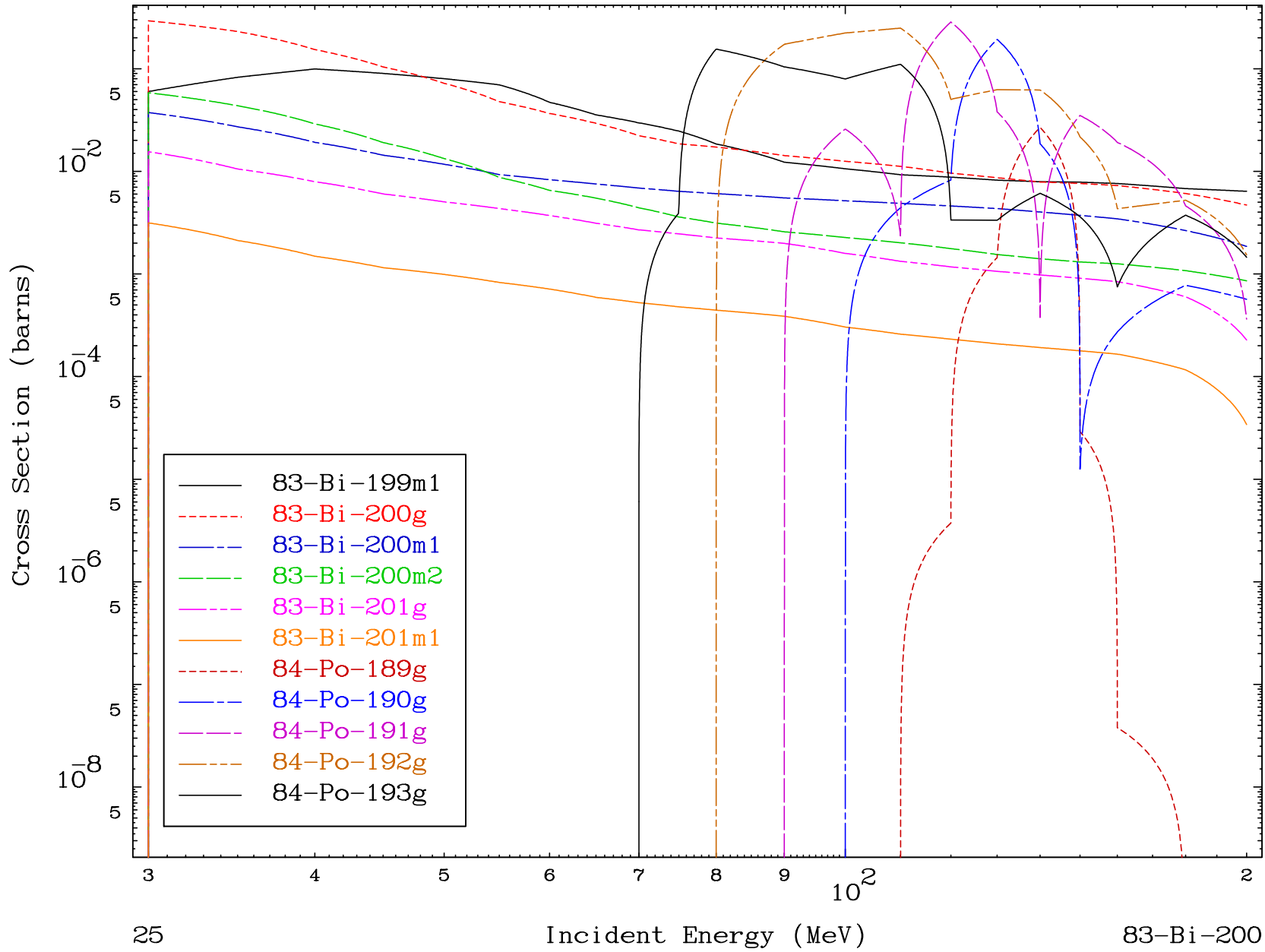


Radionuclide Production Cross Section

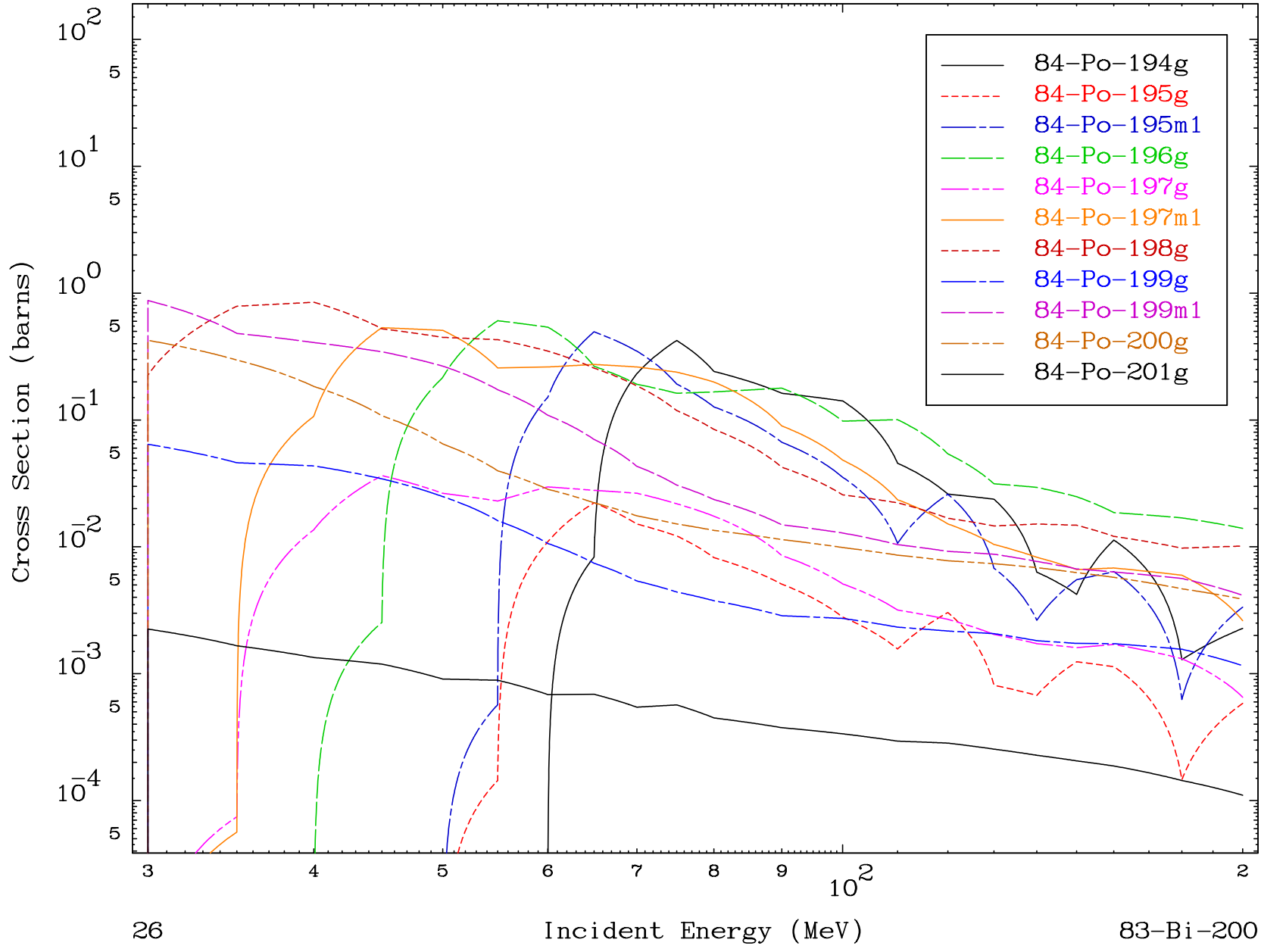




Radionuclide Production Cross Section



Radionuclide Production Cross Section

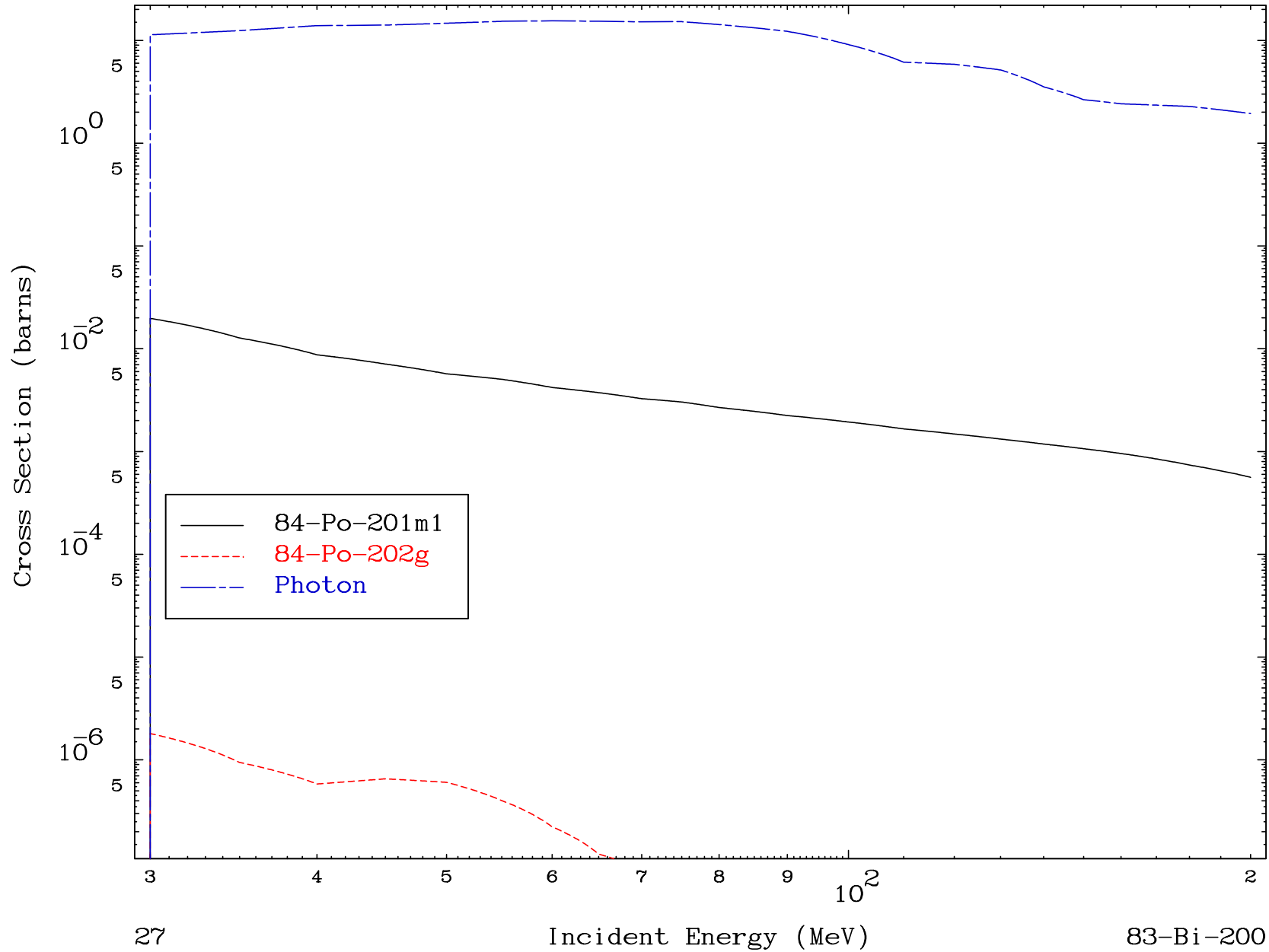


MAT 8298

(d,remainder)

83-Bi-200

### Radionuclide Production Cross Section



27

Incident Energy (MeV)

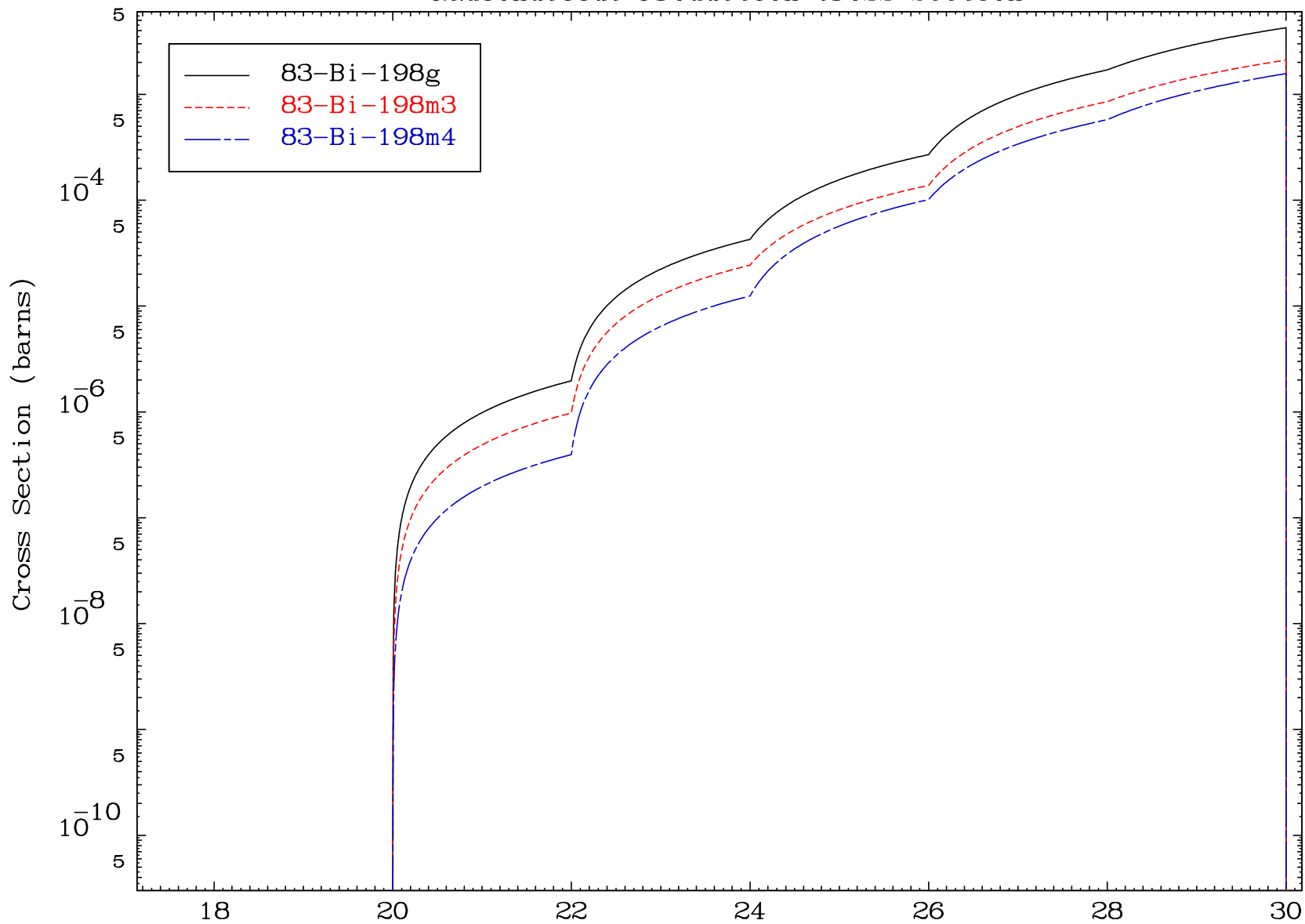
83-Bi-200

MAT 8298

(d,2n) d

83-Bi-200

Radionuclide Production Cross Section



28

Incident Energy (MeV)

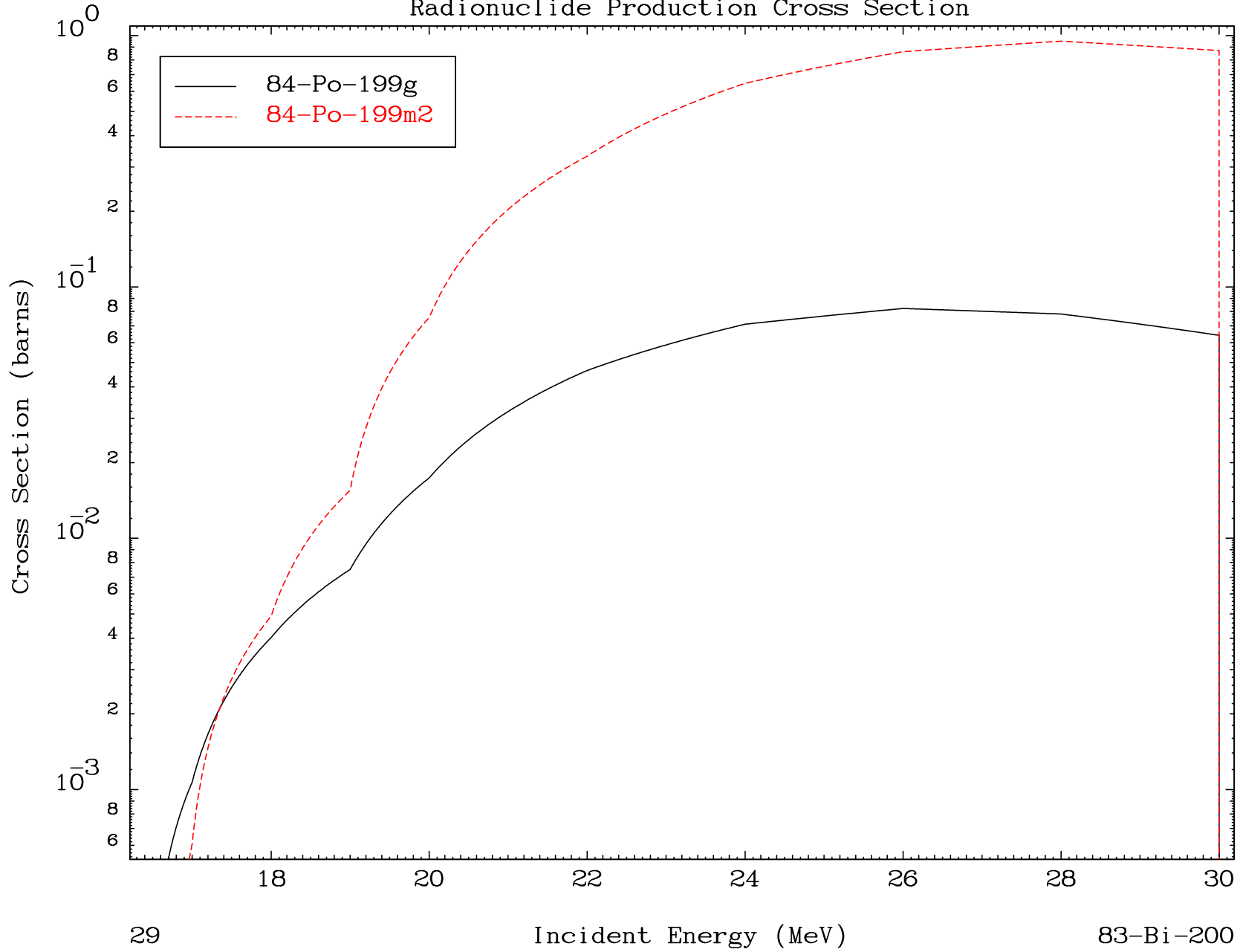
83-Bi-200

MAT 8298

(d,3n)

83-Bi-200

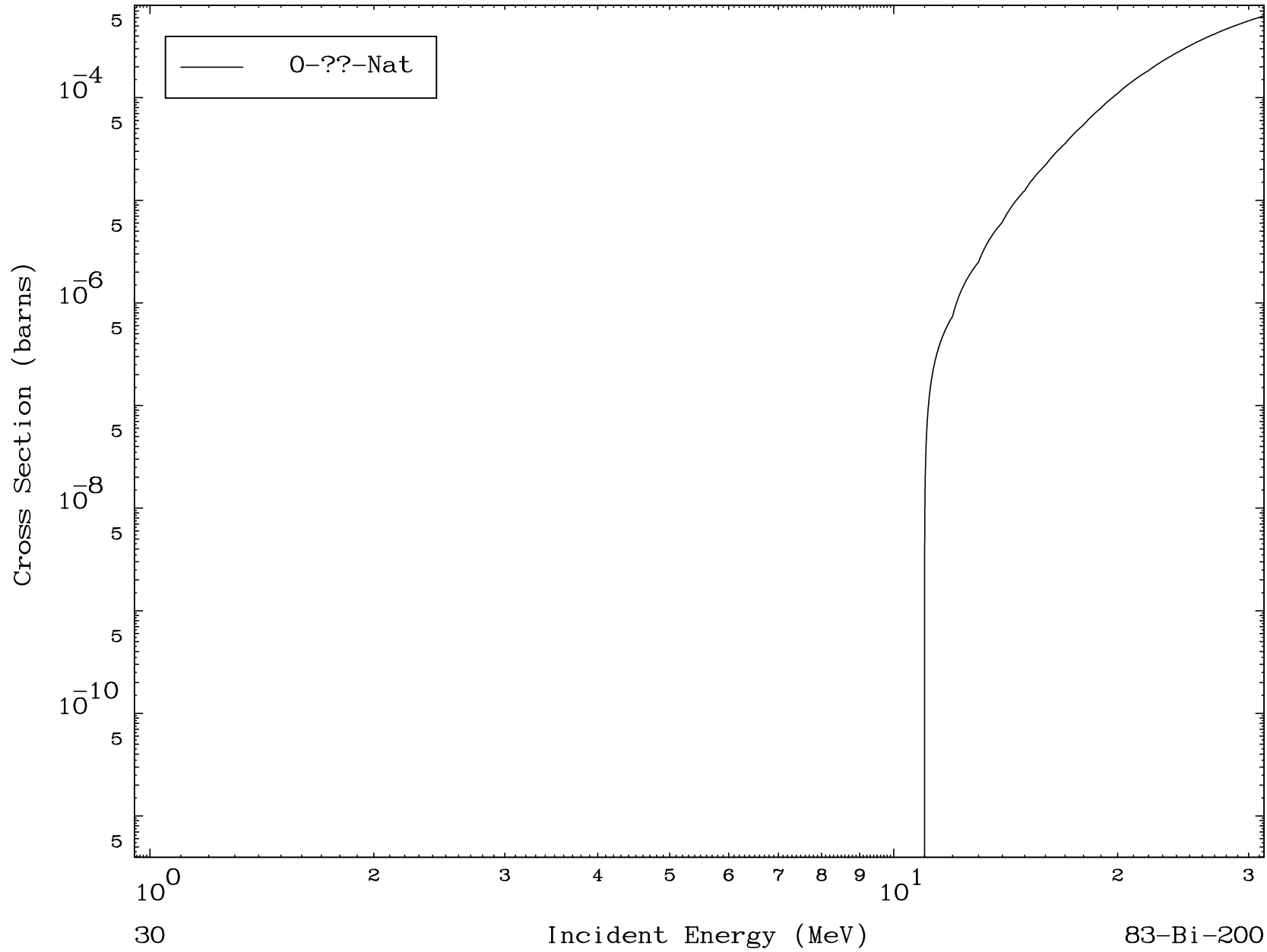
### Radionuclide Production Cross Section



MAT 8298

Deuteron Fission  
Radionuclide Production Cross Section

83-Bi-200

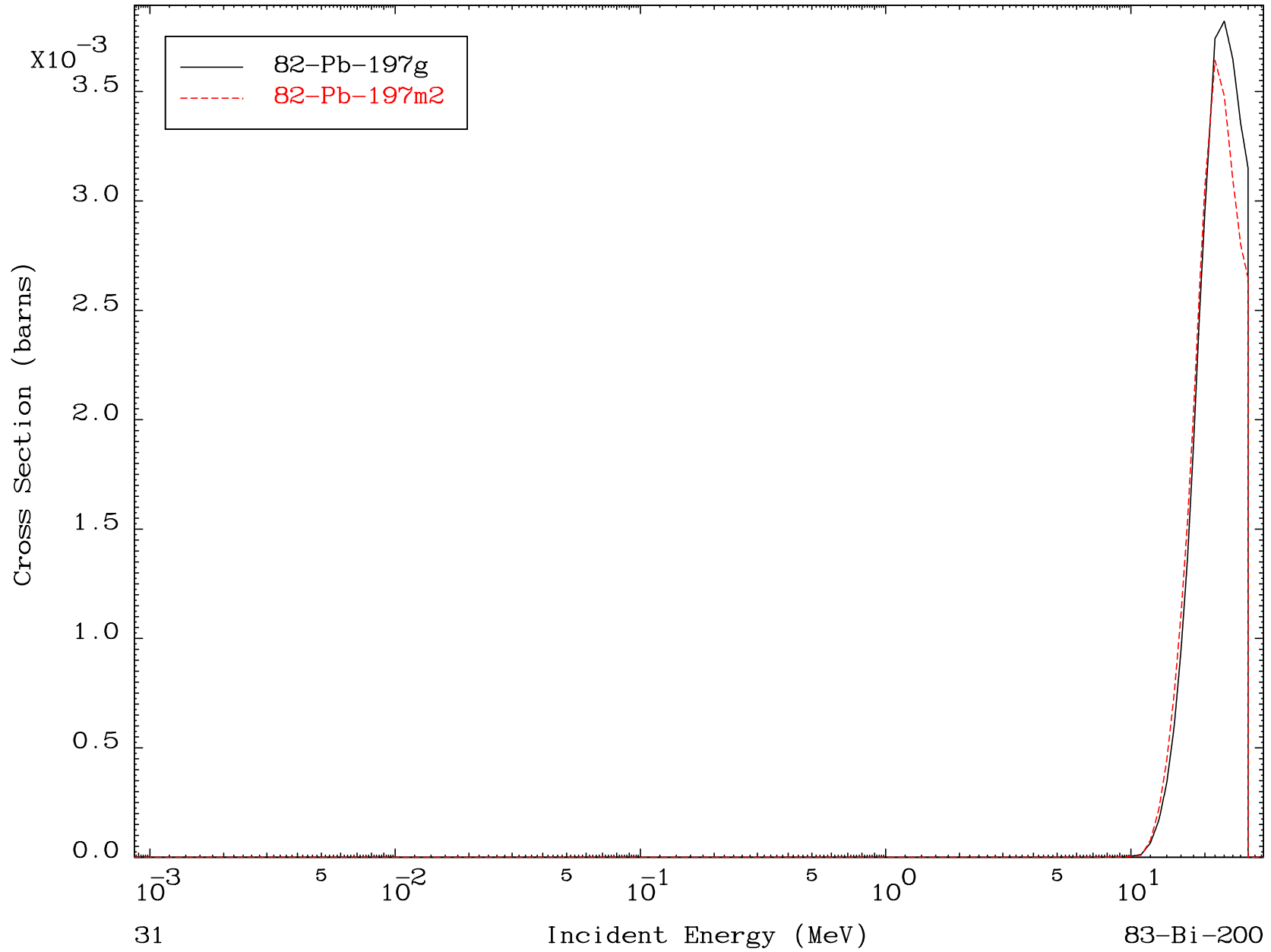


MAT 8298

(d,n')  $\alpha$

83-Bi-200

Radionuclide Production Cross Section

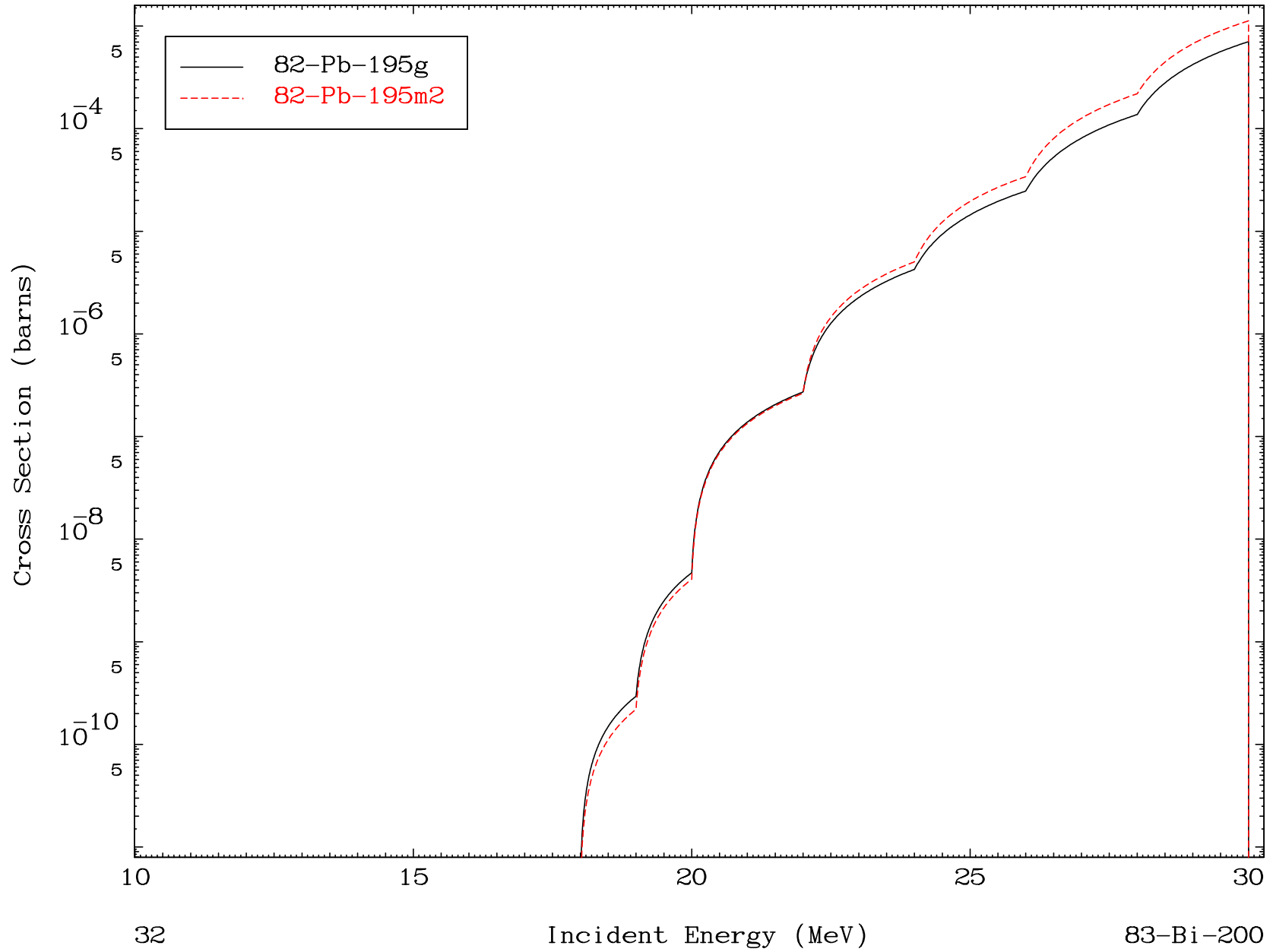


MAT 8298

(d,3n)  $\alpha$

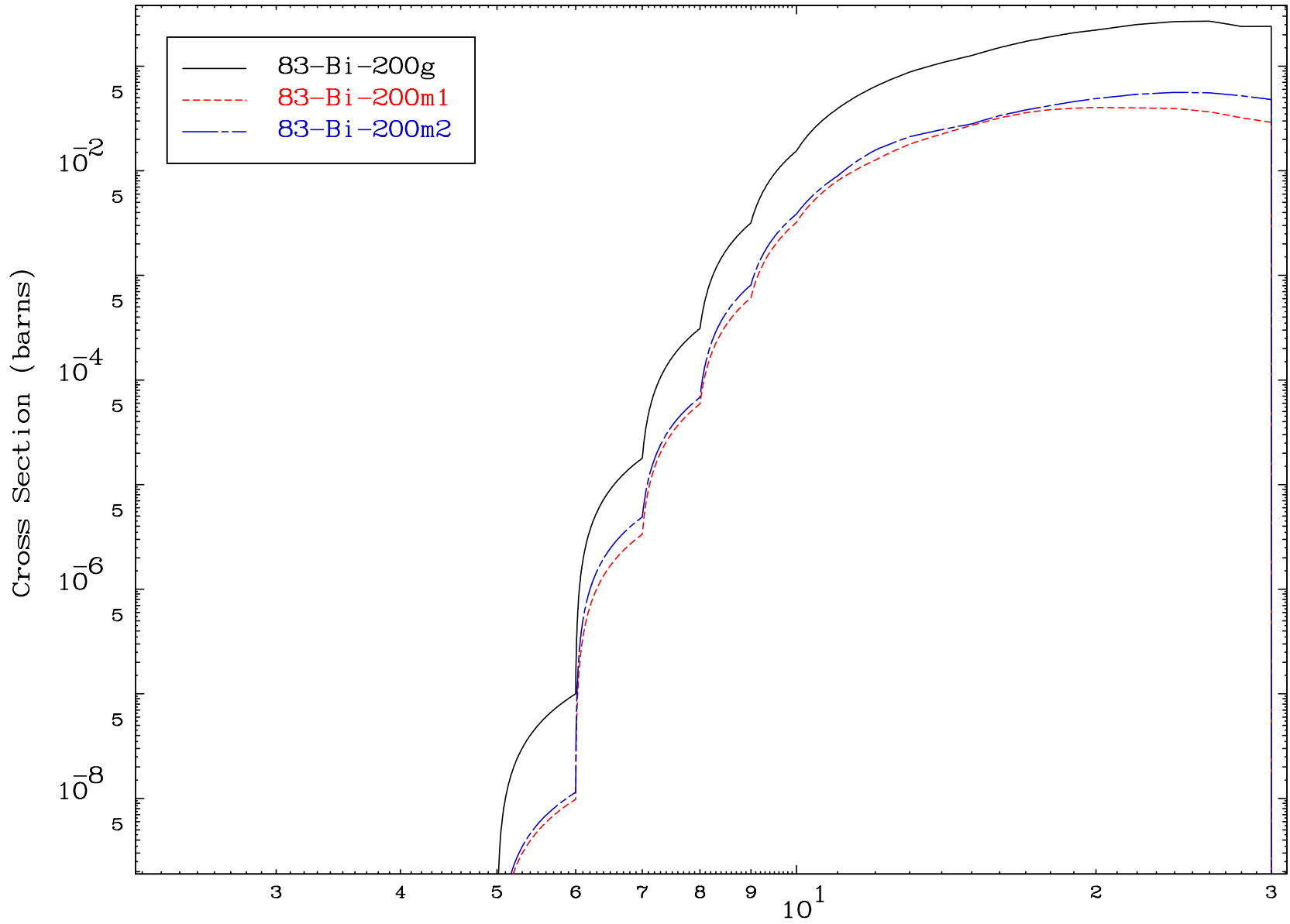
83-Bi-200

Radionuclide Production Cross Section





Radionuclide Production Cross Section

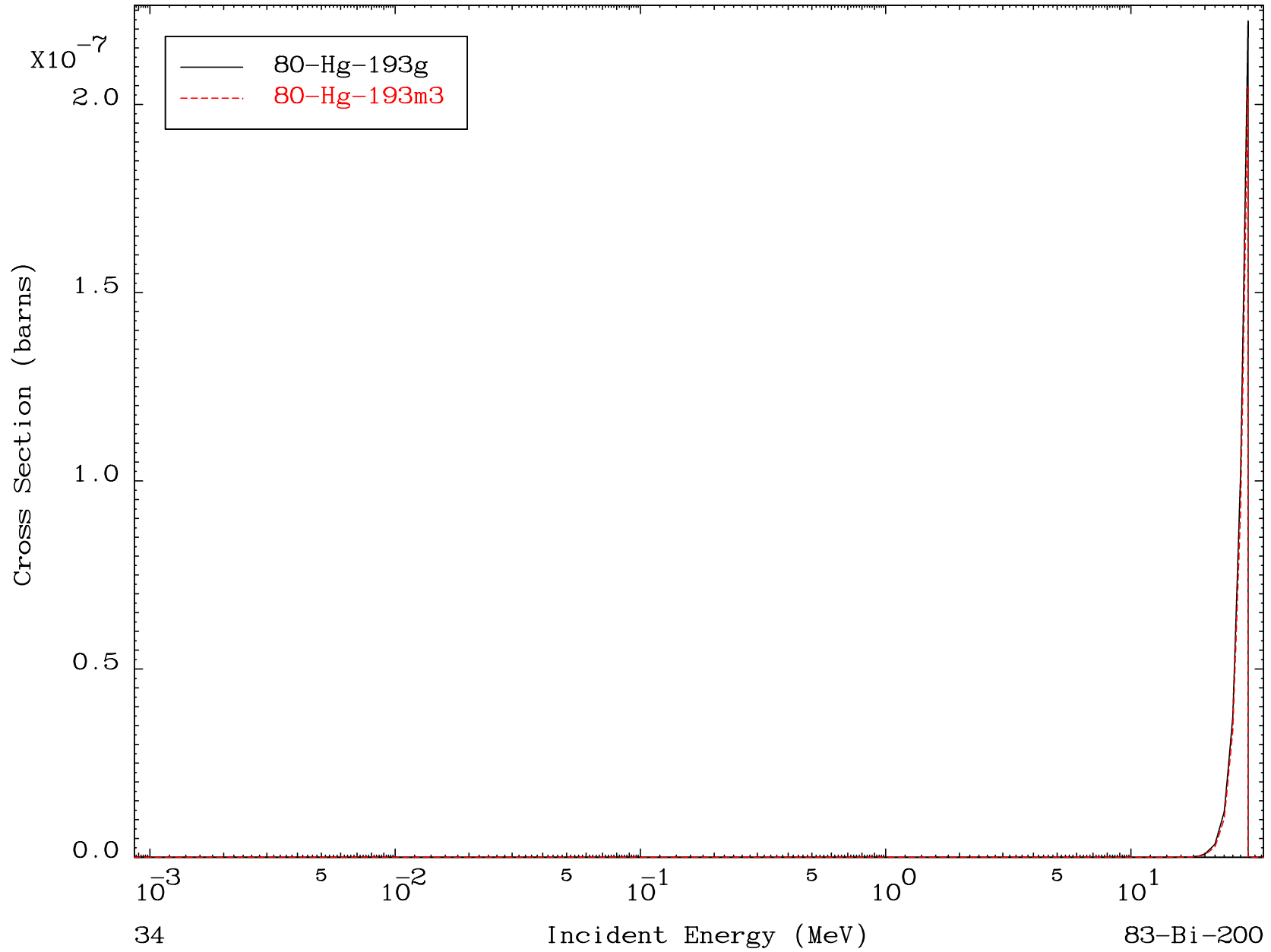


MAT 8298

(d,n') 2 $\alpha$

83-Bi-200

Radionuclide Production Cross Section

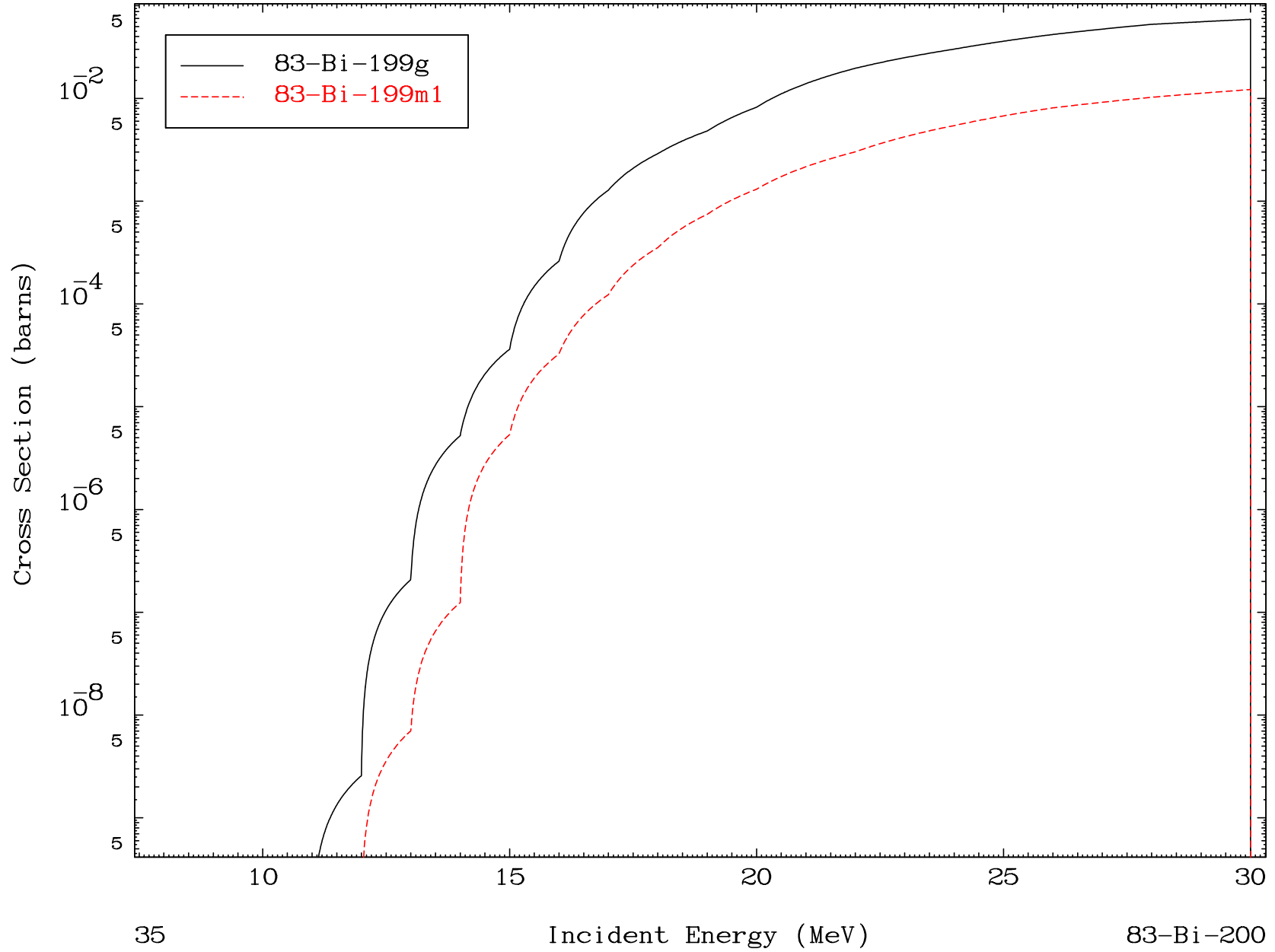


MAT 8298

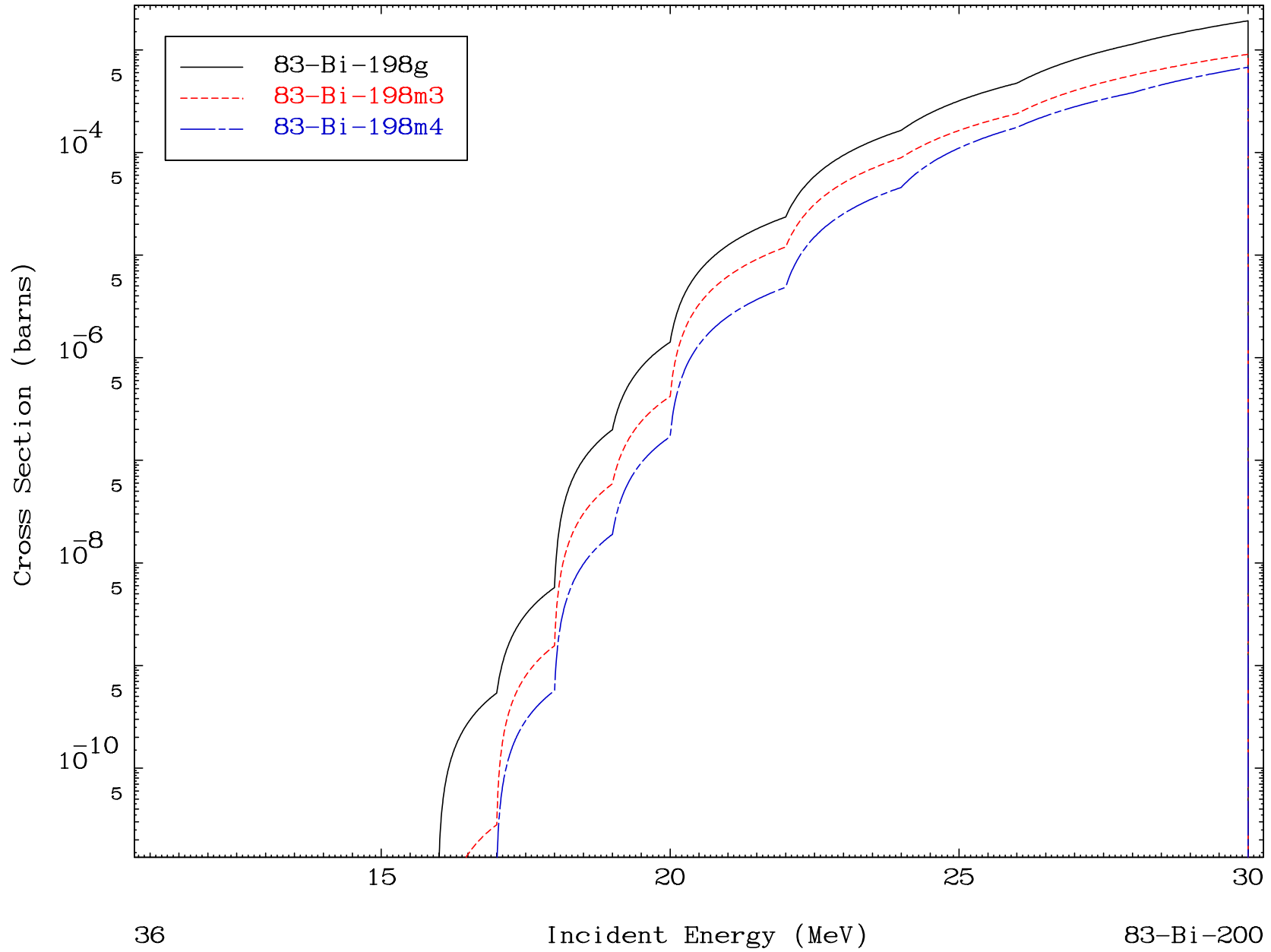
(d,n') d

83-Bi-200

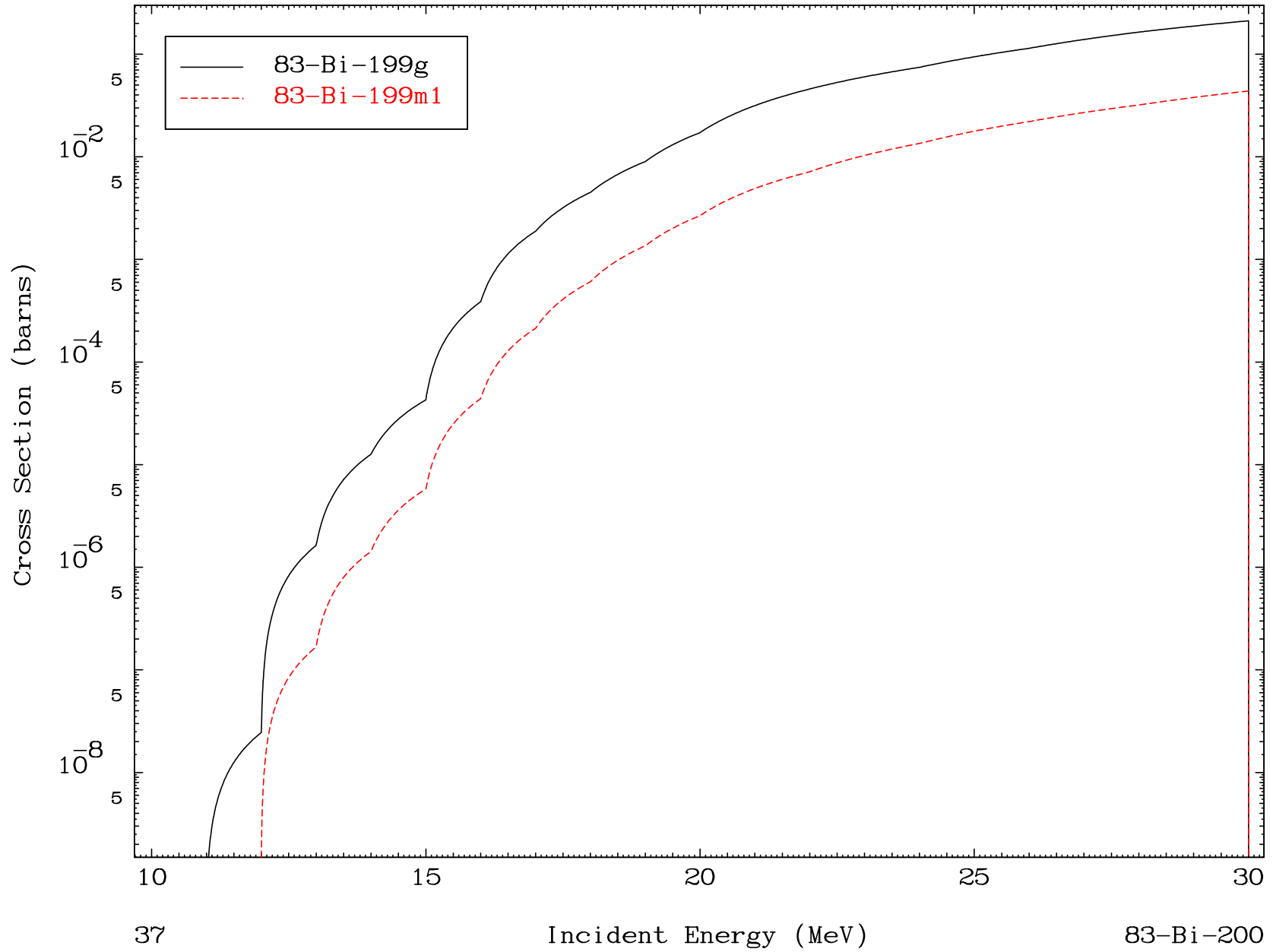
Radionuclide Production Cross Section



Radionuclide Production Cross Section



Radionuclide Production Cross Section

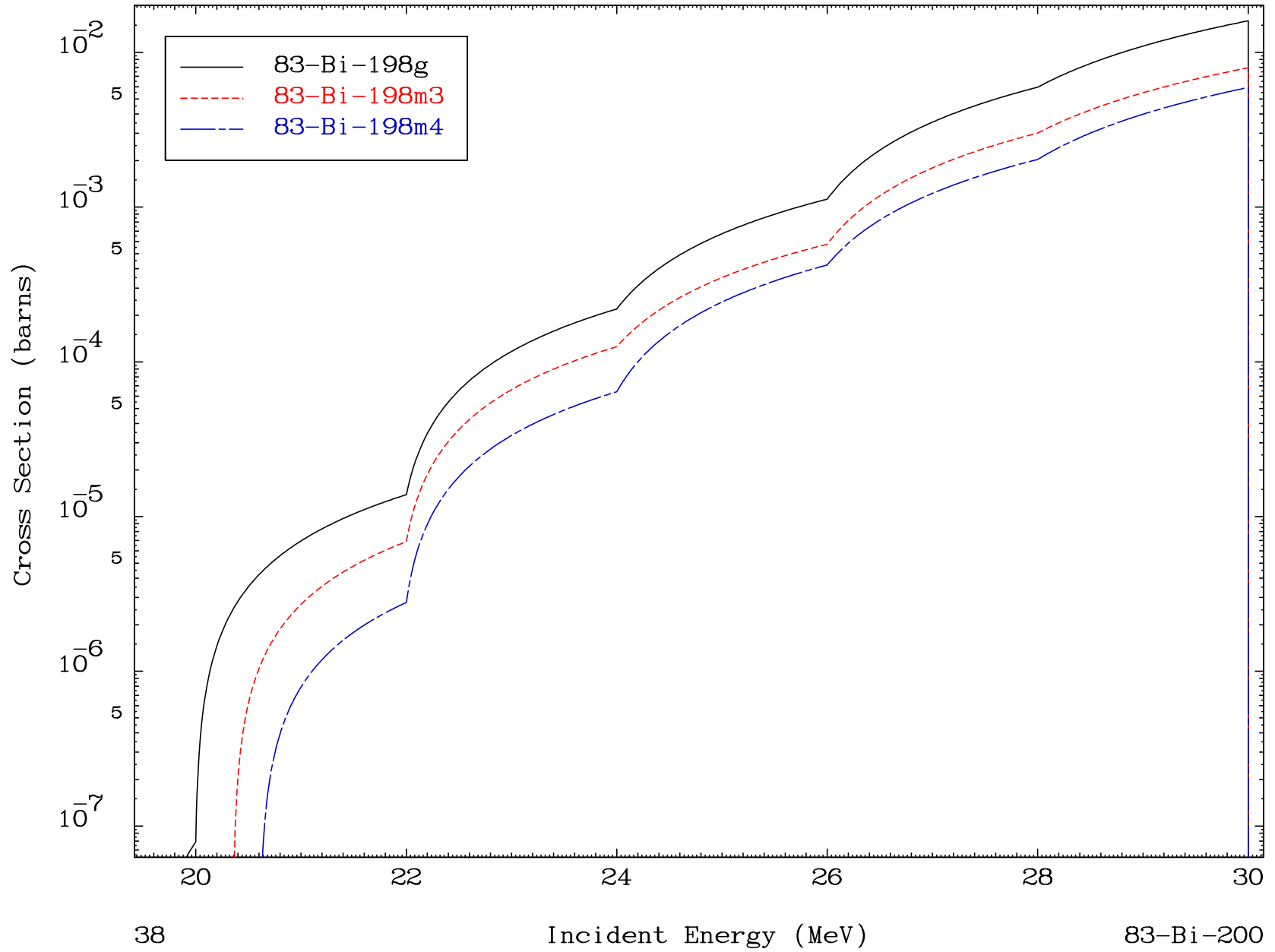


MAT 8298

(d,3n) p

83-Bi-200

Radionuclide Production Cross Section



38

Incident Energy (MeV)

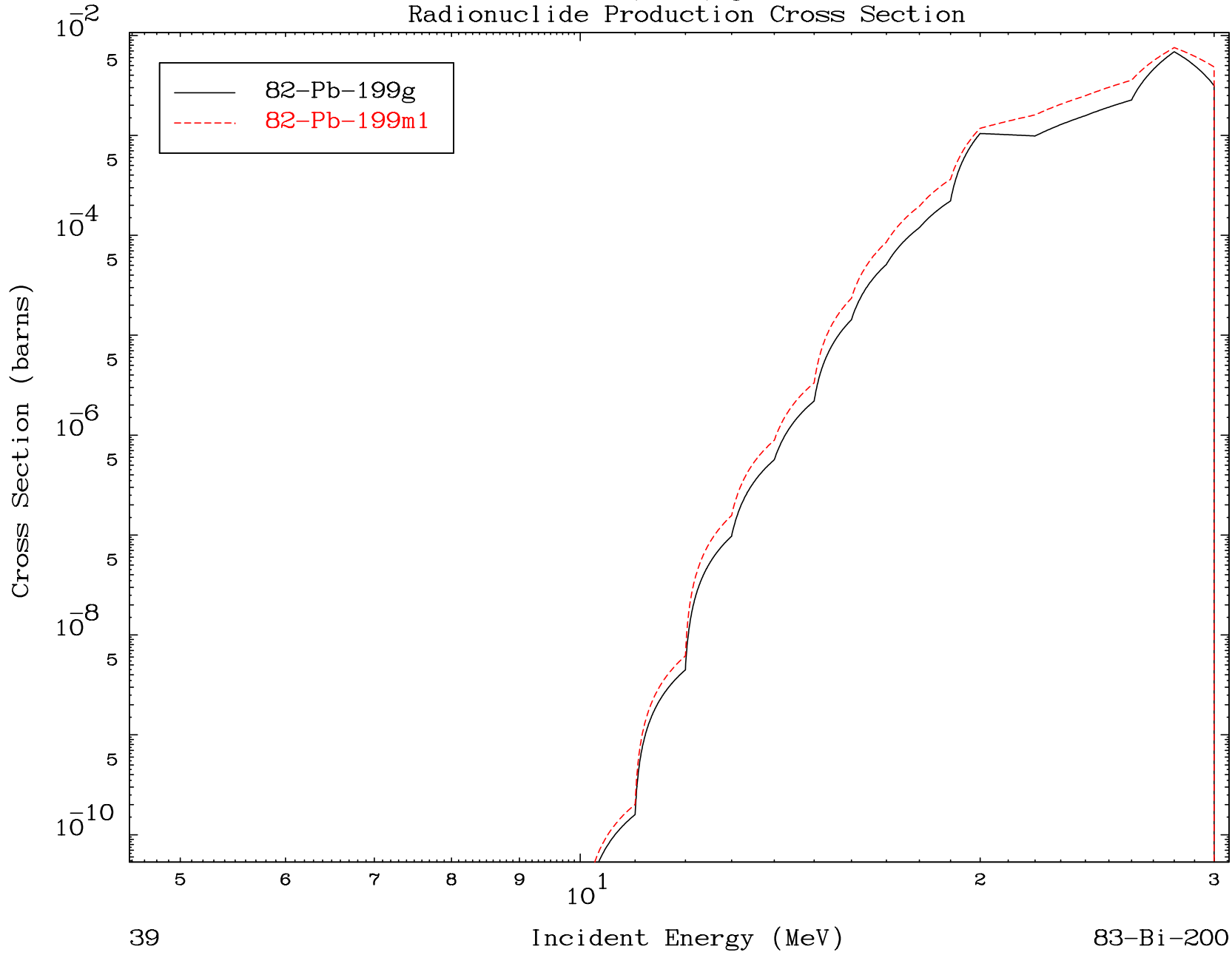
83-Bi-200

MAT 8298

(d,2n) p

83-Bi-200

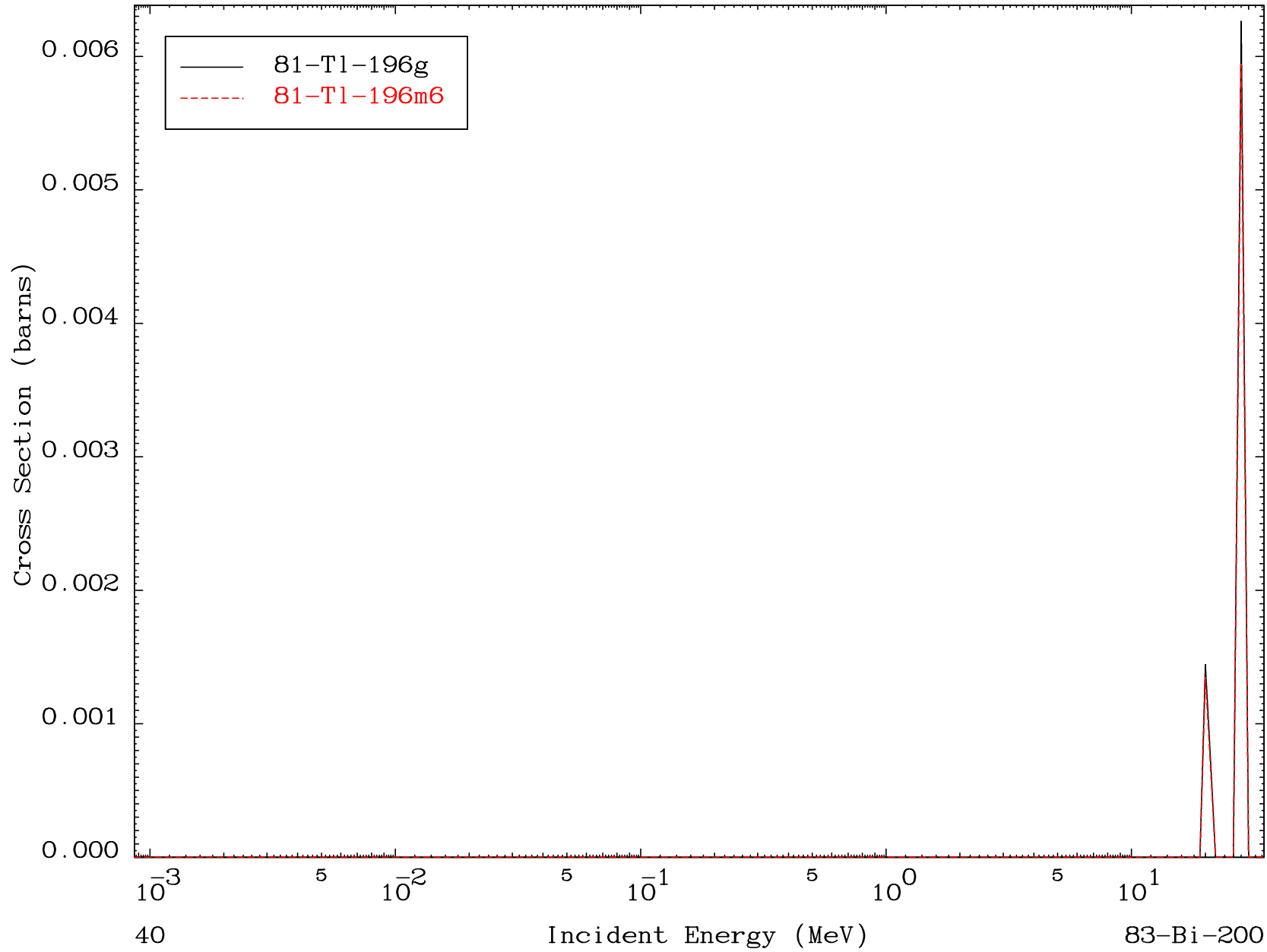
Radionuclide Production Cross Section



MAT 8298

(d,n') p  $\alpha$   
Radionuclide Production Cross Section

83-Bi-200



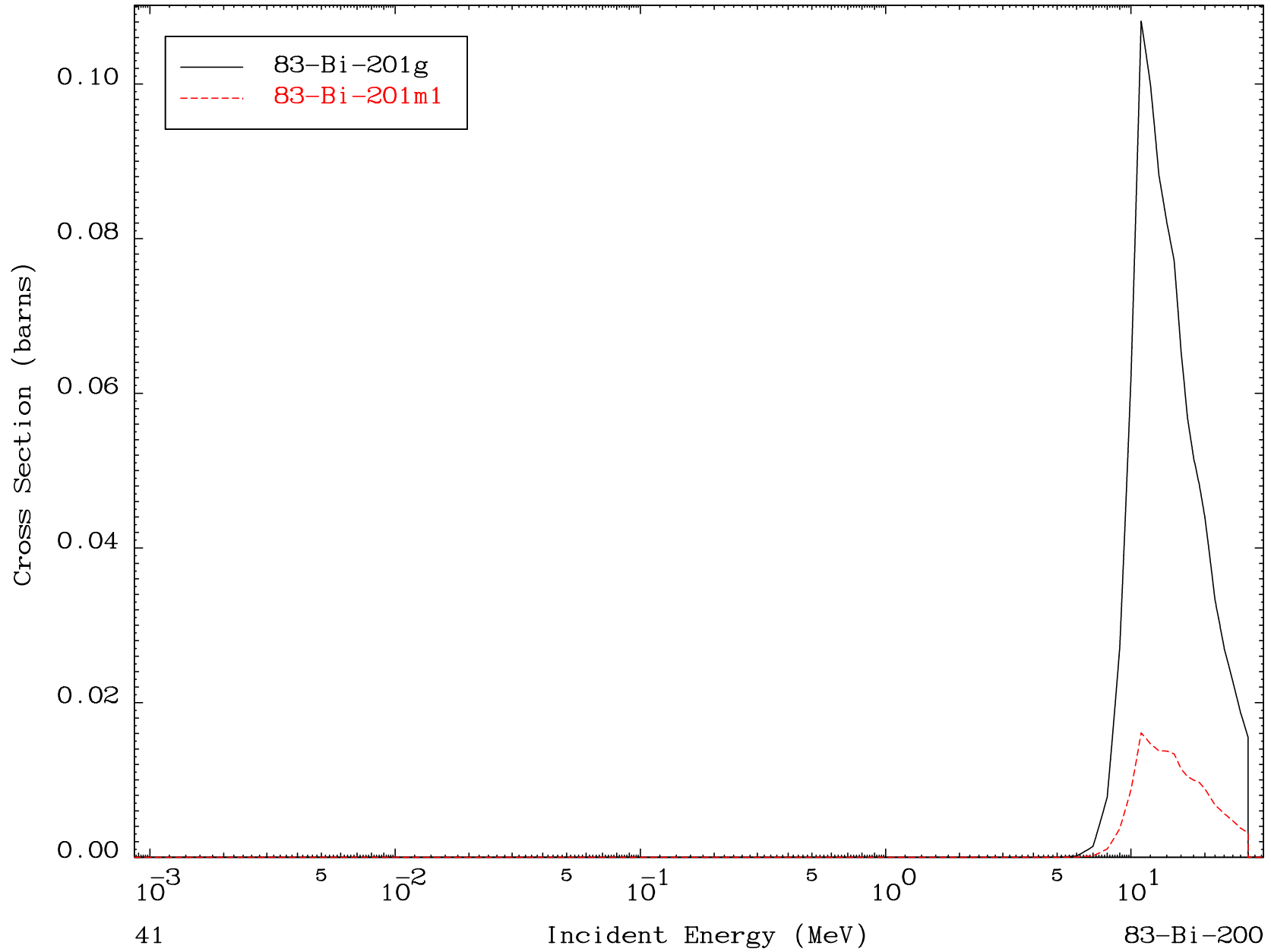
40

Incident Energy (MeV)

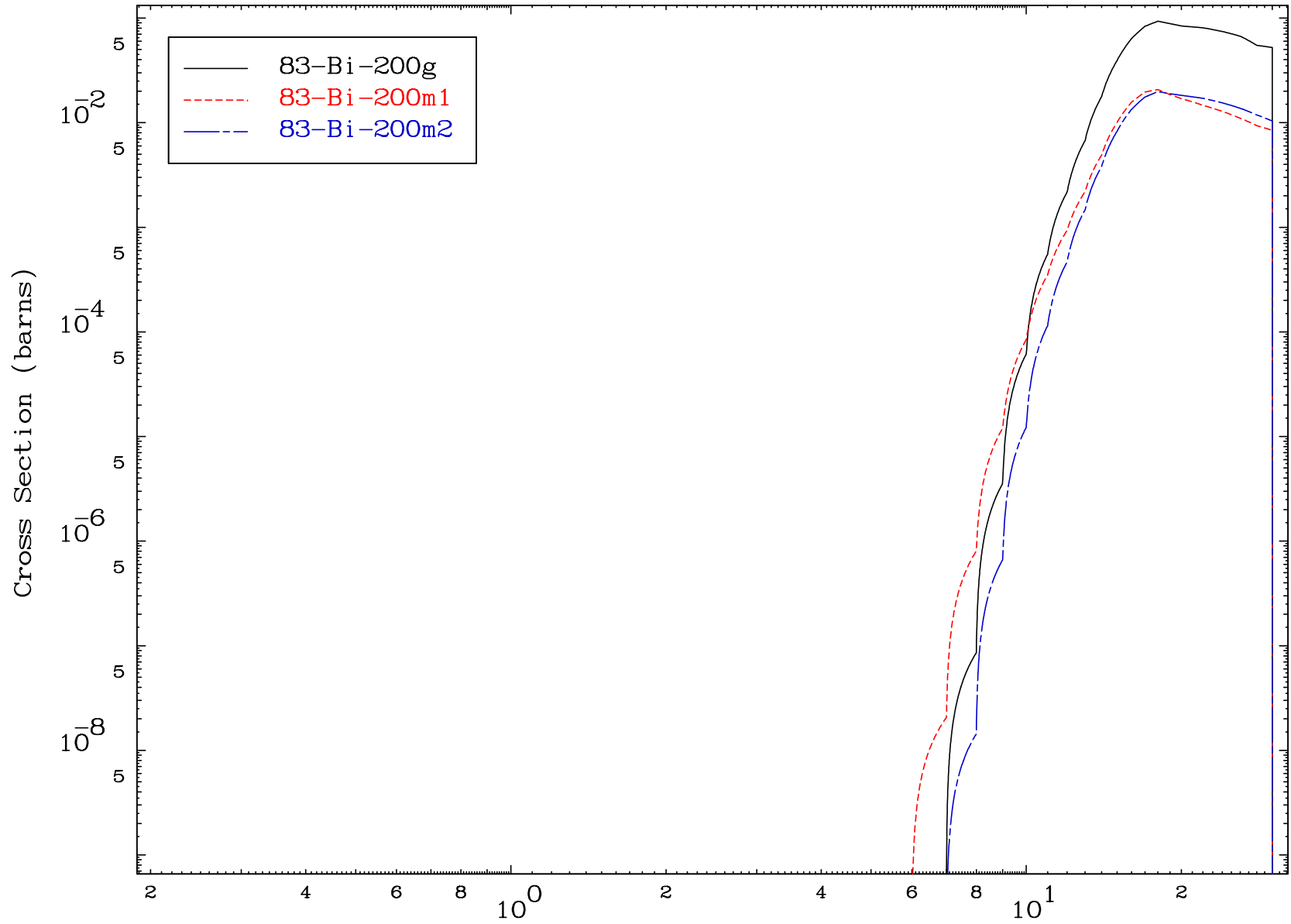
83-Bi-200



Radionuclide Production Cross Section



Radionuclide Production Cross Section

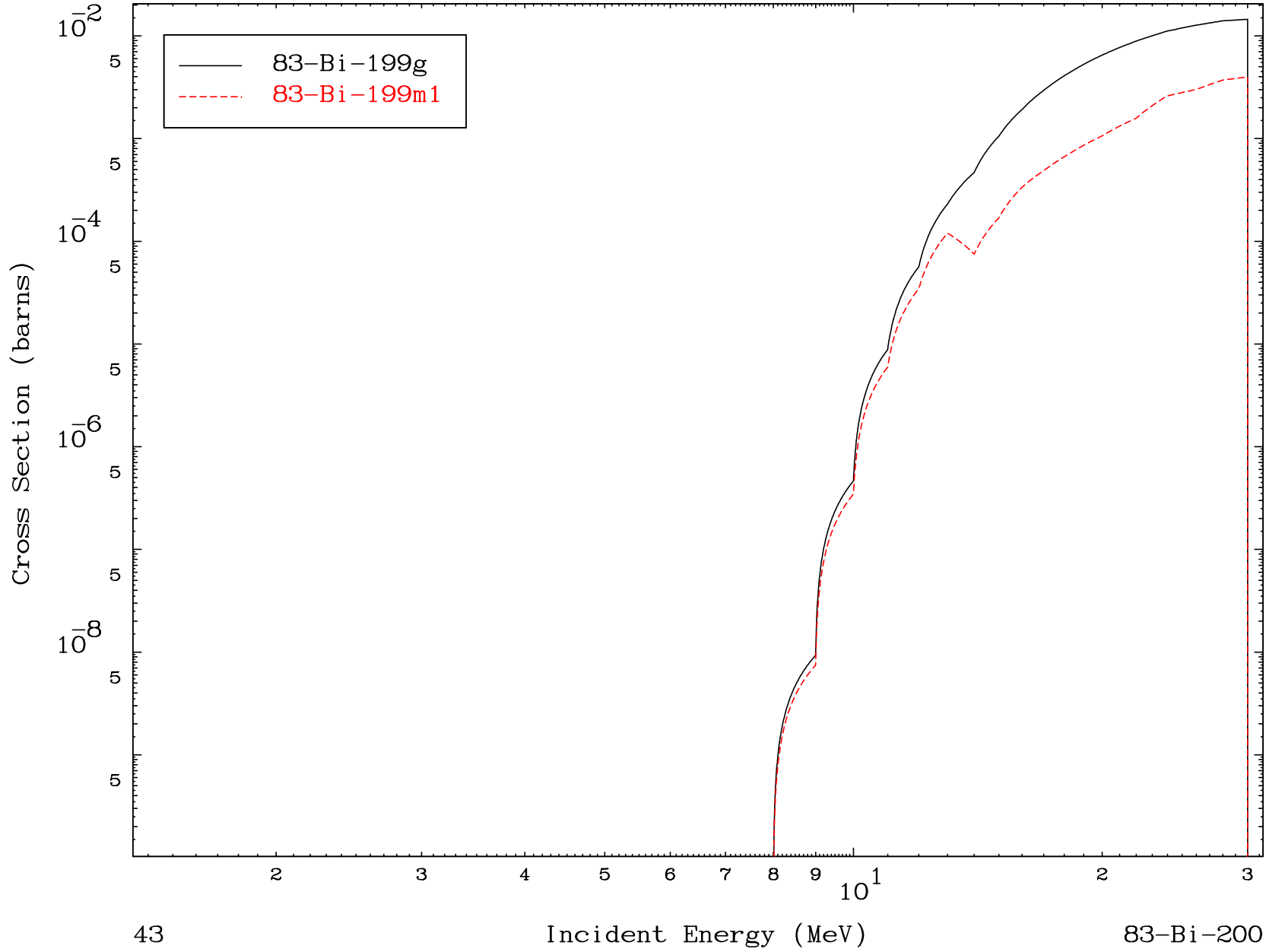


MAT 8298

(d,t)

83-Bi-200

Radionuclide Production Cross Section



43

Incident Energy (MeV)

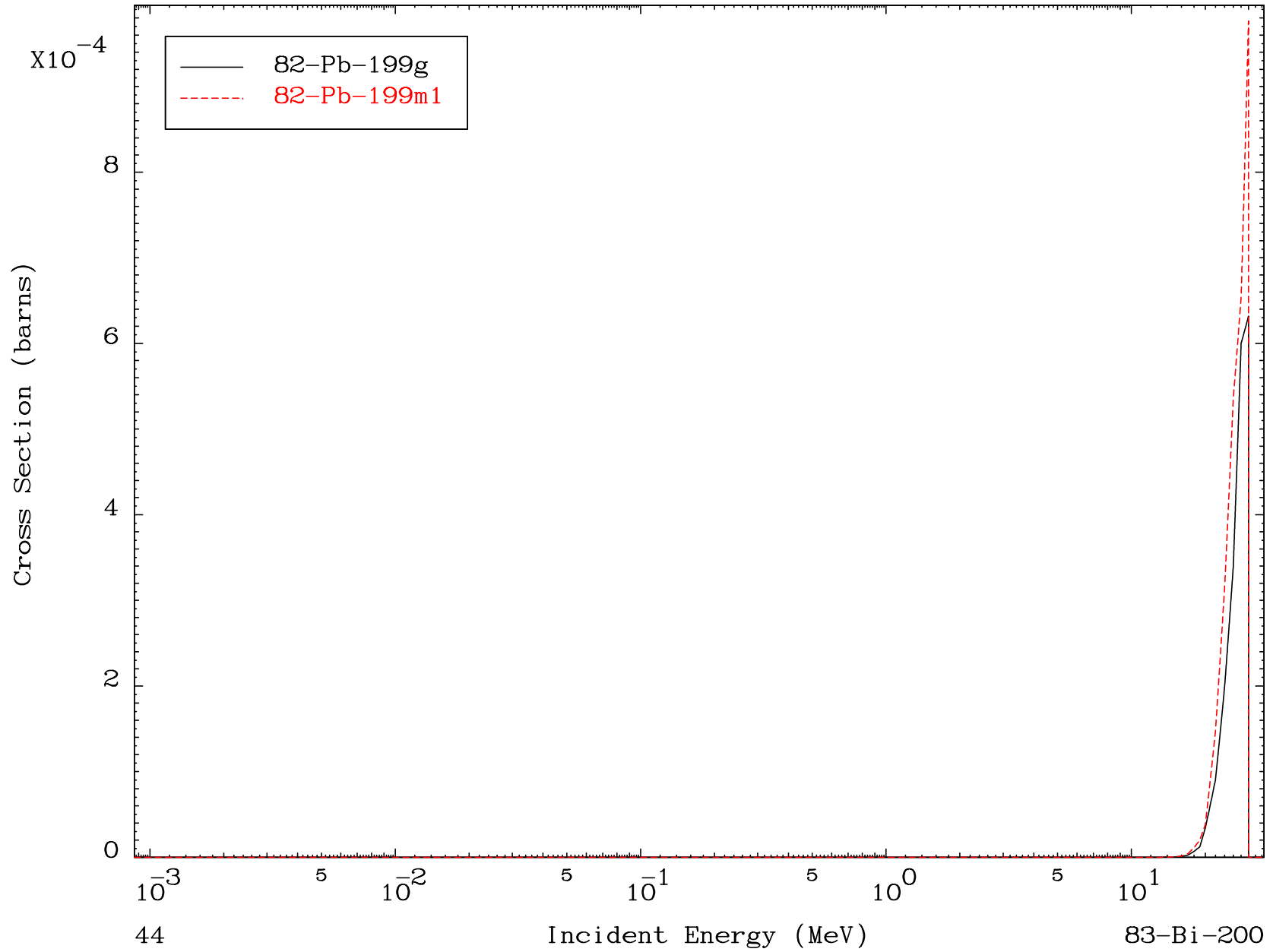
83-Bi-200

MAT 8298

(d,He-3)

83-Bi-200

Radionuclide Production Cross Section

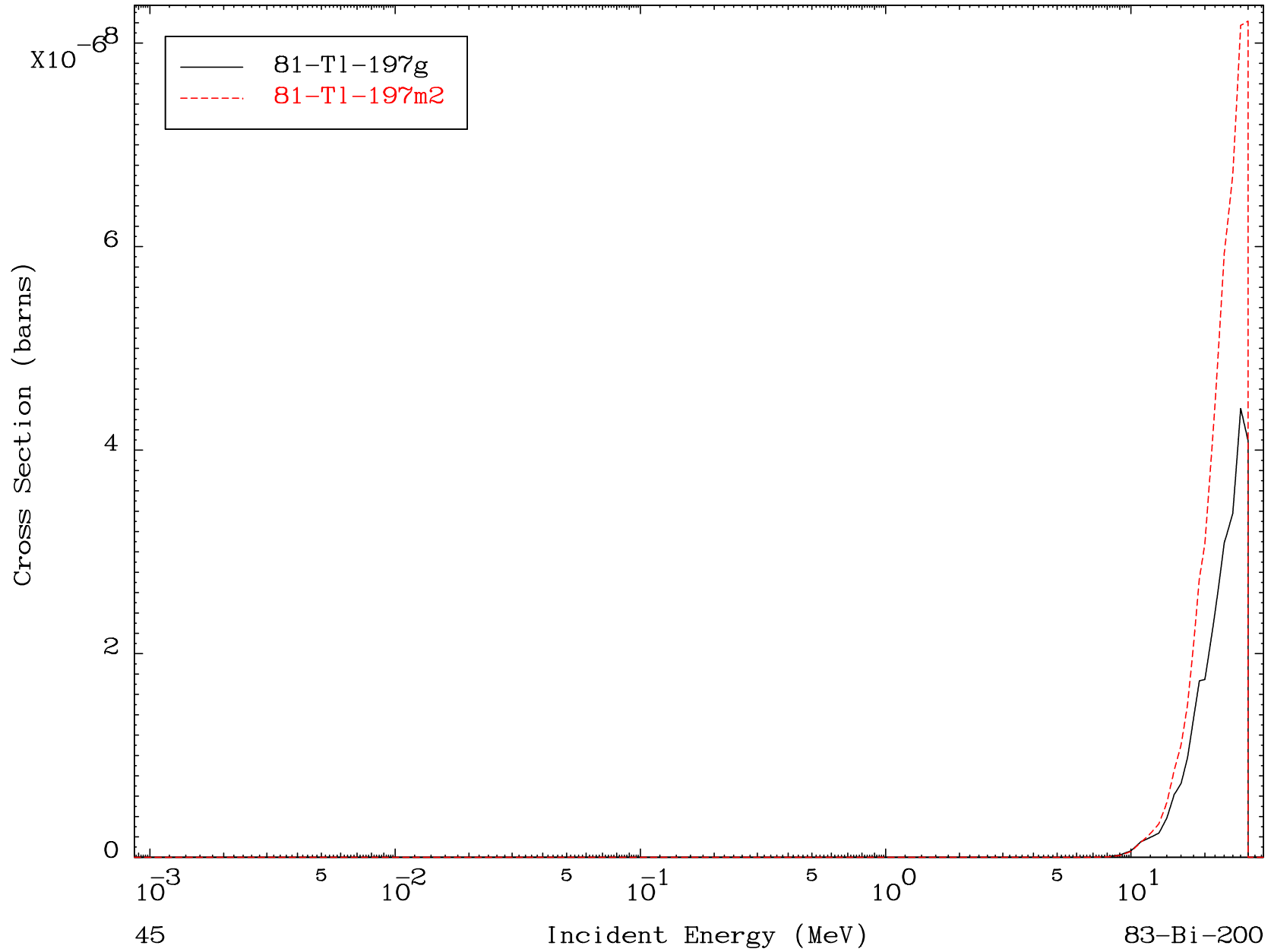


MAT 8298

(d,p)  $\alpha$

83-Bi-200

Radionuclide Production Cross Section

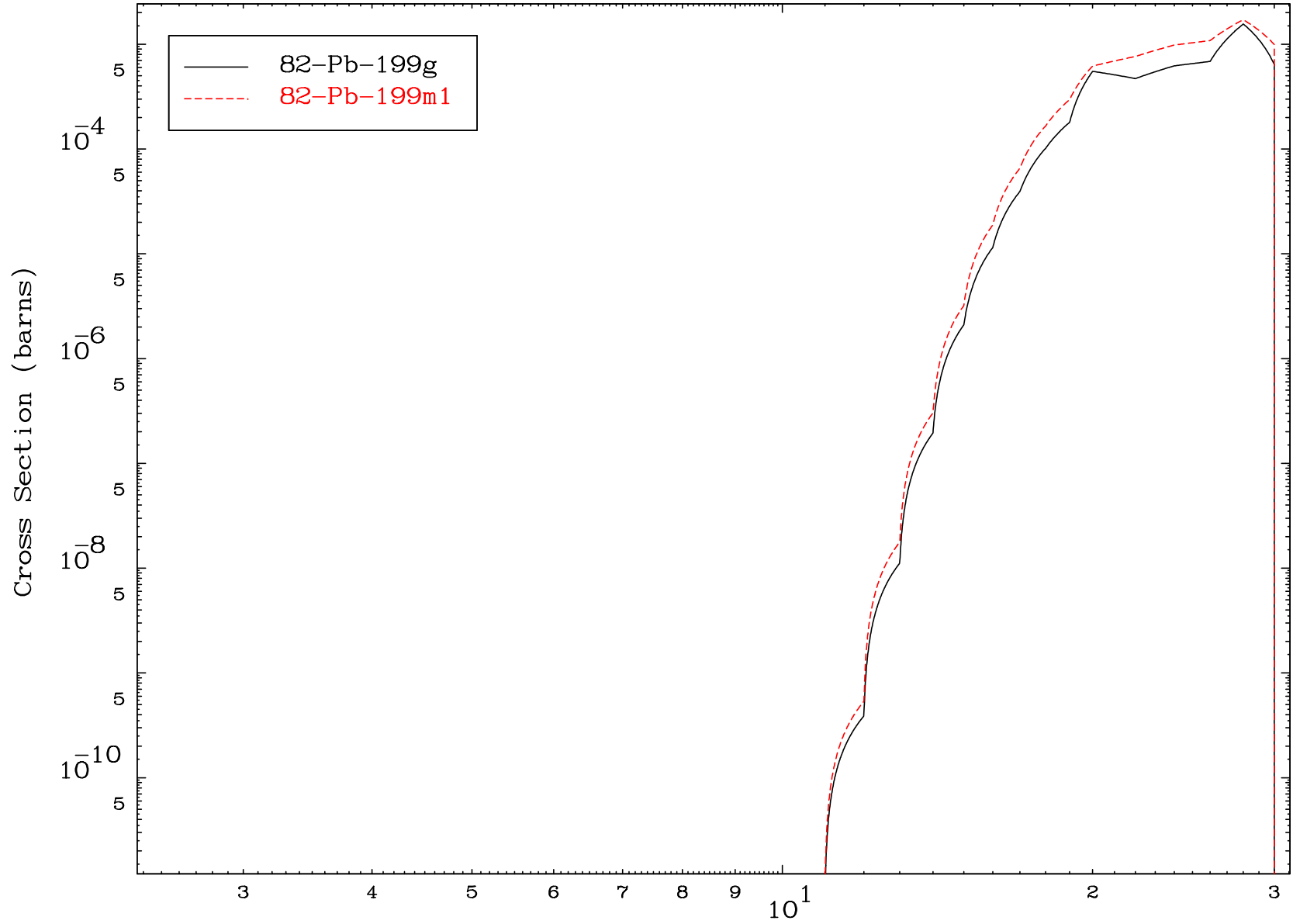


MAT 8298

(d,p) d

83-Bi-200

Radionuclide Production Cross Section



46

Incident Energy (MeV)

83-Bi-200

MAT 8298

(d,d)  $\alpha$

83-Bi-200

Radionuclide Production Cross Section

